



АКАДЕМИЯ НАУК СССР
ОРДЕНА ЛЕНИНА СИБИРСКОЕ ОТДЕЛЕНИЕ
ИНСТИТУТ ФИЗИКИ им.Л.В.КИРЕНСКОГО

ПРЕПРИНТ № 537Ф

ЭФФЕКТЫ ЛОКАЛЬНОГО ПОЛЯ СВЕТОВОЙ ВОЛНЫ
В МОЛЕКУЛЯРНОЙ ОПТИКЕ ЖИДКИХ КРИСТАЛЛОВ

Часть II

Е.М. Аверьянов

Красноярск 1989

2. ЭФФЕКТЫ ЛОКАЛЬНОГО ПОЛЯ В МОЛЕКУЛЯРНОЙ СИСТЕМЕ ЖИДКИХ КРИСТАЛЛОВ

Проведен анализ теоретического и экспериментального аспектов современного состояния проблемы локального поля световой волны в чистых и примесных жидких кристаллах.

Рассмотрены новые свойства тензора локального поля в рамках феноменологического, полуэмпирических, микроскопических и молекулярно-статистических теоретических подходов. Установлена связь анизотропии локального поля с молекулярными и макроскопическими физическими параметрами жидких кристаллов, их ориентационной и трансляционной ядоценностью, характером ближних межмолекулярных корреляций.

Обсуждаются эффекты локального поля в рефрактометрии, абсорбционной спектроскопии и комбинационном рассеянии света жидких кристаллов. Показано сильное влияние анизотропии локального поля на определение из молекулярно-оптических экспериментов момента функции ориентационного распределения (параметры порядка), тензор молекулярной восприимчивости, спектр собственного и примесного поглощения жидких кристаллов. Рассмотрены экспериментальные методы определения параметров локального поля в односторонних жидких кристаллах. Проведено сравнение экспериментальных данных для нескольких десятков жидких кристаллов различных химических классов с пресказанными теории. Выяснены области применения различных моделей тензора локального поля, показаны необходимость и направление дальнейшего развития теоретических представлений

Анизотропия Δf (41) пропорциональна параметру длины ориентационного портика ЖК, в результате чего даёт вклад в анизотропию всех оптических свойств ЖК, который в качестве ведущего содержит слагаемое, линейное по Δf . Поэтому поправки на анизотропию локального поля к определяемым из экспериментальных данных молекулярным и структурным параметрам ЖК также начинаются с линейных по Δf членов, т.е. о степени применимости той или иной модели расчета тензора f можно судить уже по знаку Δf . В этой модели, принятой в качестве нулевого приближения $\Delta f = 0$ и сравнивая соответствующие ей значения структурных и молекулярных параметров с измеренными независимыми методами. Под эффектами локального поля здесь понимается влияние величины и анизотропии тензора f на оптические характеристики ЖК и определяемые из них молекулярные и структурные параметры.

2.1. Молекулярно-оптическая и структурная анизотропия нематических и одноосных смешанных жидких кристаллов

Уравнения (26), (38), (39) являются основными соотношениями молекулярной кристаллографии односторонних ЖК, установленными связь макроскопических оптических характеристик образца со свойствами молекул и их структурной ядоценностью. Оптические свойства ЖК, как макроскопической системы, определяются изол. линиями (Σ) и анизотропным (Δf) вкладами, каждый из которых зависит от анизотропных свойств (S и Δf) расположения молекул. И свойства (Σ и Δf) самих молекул. Уравнения (38) и (39), вид которых не зависит от конкретной формы тензора f , показвают относительный вклад структуры и структурных единиц в макроскопические свойства ансамбля. В этих феноменологических уравнениях фигурирует эффективная молекулярная поляризуемость $\hat{\gamma}$, перенормированная межмолекулярным взаимодействием с ближним координационным окружением [16] и отличная от поляризуемости $\hat{\alpha}$ тех же молекул в газовой фазе или изотропном растворе. Поэтому поляризуемость $\hat{\gamma}$ является индикатором межмолекулярных взаимодействий, приводящих к статистическому смещению уровняй внутримолекулярных электронных и колебательных переходов, изменению соотношения компонент $\hat{\gamma}$ по сравнению с $\hat{\alpha}$ [16, 35], а также $\hat{\gamma}$ является индикатором конформационных изменений молекулярных ароматических остатков [77, 177] и гибких цепей [178] за счет изменения ориентационной ядоценности мезофазы и анизотропии ближнего координационного окружения. Переформировка компонент $\hat{\gamma}$ в каждой тем-

пературной точке, приводящая в свою очередь к изменению энергии межмолекулярного взаимодействия, происходит взаимосогласованно с изменениями величины и температурной зависимости параметра порядка S [48, 49, 168, 178]. Поэтому задача одновременного определения абсолютных величин \hat{S} и $\hat{\gamma}$, связанных соотношениями (38) и (39), не может быть решена в рамках одного метода рефрактометрии и требует привлечения данных независимых спектральных или неоптических измерений.

Как видно из (16), при учете двусостности мезогенных молекул в формулах (38) и (39) произведение $S \Delta \gamma'$ следует заменить на $S \Delta \gamma + G \Delta \gamma'/2$. При одинаковом знаке величин G и $\Delta \gamma'$ учет двусостности должен приводить к уменьшению определяемых из (39) значений \hat{S} . Для типичных мезогенных молекул в красной области спектра $\Delta \gamma \approx 30 \text{ \AA}^3$, $\Delta \gamma' \approx 15 \text{ \AA}^3$ [179] а максимальное значение отношения $G/S \approx 0,15$ [39, 118] достигается при $S \approx 0,4$ вблизи T_c [69]. Максимальная поправка к произведению $S \Delta \gamma'$ составляет $\approx 4\%$ и уменьшается как с ростом S , так и в более коротковолновой области спектра за счет снижения отношения $\Delta \gamma'/\Delta \gamma$. Поэтому при интерпретации рефрактометрических данных двусостность молекуллярных тензоров \hat{G} (17) и \hat{S} (18) можно не учитывать. Использование этого приближения при интерпретации результатов динамагнитных измерений может привести к заметным ошибкам в определении S [180].

2.1.1. Аналог формулы Лоренц-Лорентца и модели тензоров локального поля

Соотношение Л-Л (79) формально справедливо для изотропной жидкости с изотропными молекулами. Для анизотропных молекул учет межмолекулярных корреляций приводит к появлению в правой части (79) корреляционных поправок, зависящих от анизотропии тензора формы \hat{L} (28) и анизотропии поляризуемости $\hat{\gamma}$ [12, 14, 17, 147, 181, 182]. С другой стороны, изменению вида правой части (79) приводит учет поправок на локальное поле в рамках моделей эллипсоидальной полости Лоренца-Рамана-Кричмана (Л-Р-К), сферической полости Онзагера-Бёттчера или эллипсоидальной полости Онзагера-Шольте [2]. Причем можно установить взаимно-однозначное соответствие корреляционных поправок с аналогичными поправками в модели Л-Р-К [18]. Хотя формально учет корреляционных поправок необходимо, экспериментальная проверка показывает (см. Таблицу III.5 [2]), что формула (79) выполняется с хорошей точностью как для изотропных, так и для сильно анизотропных молекул стержнеобразной (C_2 , 2%) и дисперсионной форм (C₆H₆ - 0,7%, C₅H₈N - 0,25%). Причем в сравнении с отмеченными здесь континуальными моделями локального поля формула (79) имеет лучшее согласие с экспериментом. Это указывает на реальную

малость корреляционных поправок и может служить эмпирическим обоснованием применения (79) к изотропным жидкостям, состоящим из анизотропных молекул. Переоценка роли корреляционных поправок к (79) в теории может быть связана с приближениями при их вычислением, ограниченными переключаемыми бесконечными знакопеременных рядов, а также с неучетом нелокальности поляризуемости и перенормировки полимеризуемости за счет взаимодействия с ближним окружением. С другой стороны, к какому-либо экспериментальному несоответствию (79) в ряде случаев может привести использование значений $\hat{\gamma}$, измеренных в газовой фазе. Таким образом, проведенный здесь анализ подтверждает сделанный выше (п. I.1.2) вывод о применяемости формул (5) и (79) к изотропной фазе ЖК.

Аналогом формулы Л-Л для одноосных нематиков и смектиков является соотношение (80), сравнение которого с (9), (44) и (83) показывает, что при $\Delta f \neq 0$ фазовый переход $-N$ и возрастание S сопровождаются увеличением $\hat{\gamma}$. Это согласуется с теоретическим и экспериментальным выражением $\hat{\gamma}$ за счет перенормировки поляризуемости, обусловленной межмолекулярным взаимодействием [12, 16, 19, 129-136, 150]. В то же время приближение $\Delta f = 0$ с формулой (35) для f приводит с учетом (9) к неизменности $\hat{\gamma}$ в разных фазовых состояниях.

Отметим, что при спектральной инверсии знака Δf (п. I.4) и достаточно больших $\Delta f > 0$ в области $\lambda < \lambda_0$ из (9) и (80) следует возможность нефизики, логого уменьшения $\hat{\gamma}$ с ростом S . Это указывает на нарушение (9) в этой спектральной области или недостаточность постепенной в реальной области прозрачности ЖЖ. Справедливость соотношений (9) подтверждена для видовой области спектра [22-35], а в области сильной дисперсии двутягчепреломлени, ЖЖ вблизи полос собственного электронного поглощения вопрос о степени выполнимости этих соотношений пока не исследован.

Для модели (27) $\tau = 0$, $\Delta f > 0$ во всей области прозрачности ЖЖ из (9), (80) следует уменьшение $\hat{\gamma}$ с ростом S , причем с уменьшением $\hat{\gamma}$ эта тенденция усиливается. Это нефизическое следствие показывает некорректность использования модели (27) для определения компонент молекулярной поляризуемости. Выше было установлено (п. I.6.3), что предположение о неизменности $\hat{\gamma}$ приводит к нефизической температурной зависимости компонент $L_{\parallel, \perp}$ и анизотропии Δf в рамках модели ЗМН. Таким образом, уже анализ следствий уравнения (38) позволяет судить о неприменимости формул (27) и (26), (84) к анализу молекулярной поляризуемости $\hat{\gamma}$ в ЖЖ.

Соотношение (9) можно использовать для оценки показателя преломления n_{\parallel} ЖЖ по известным значениям n_i и n_{\perp} , измеренным на рефрак-

тотемре, если известно отношение ρ/ρ_2 [32, 34],

$$\kappa_{\eta}^2 = 3 \frac{1 + 2c}{1 - c} - 2n_c^2, \quad c = \frac{\rho}{\rho_2} \cdot \frac{n_c^2 - 1}{n_c^2 + 2}, \quad (165)$$

или для оценки отношения ρ/ρ_2 по известным $\kappa_{\eta,\perp}$: [42, 43]. Наконец, соотношение (9) применяется для оценки коэффициента теплового расширения $\beta = (\partial V/\partial T)/V$ и ставка моллярного объема $V = M/M_A \rho$ в тот, э перехода T_c [25, 183, 184]. Для некоторых веществ, например, МВА ($n_c = 1$, $M = 44$) [25, 32, 183] и двух первых гомологов ряда III [31] такая пропа-
ктура дает результаты в удовлетворительном согласии с данными прямых измерений плотности.

2.1.2. Анизотропия локального поля и поляризумость молекул

При известных из независимых измерений абсолютных значений S уравнения (38) и (39) можно использовать для определения компонент притяжения результат существенно зависит от учета анизотропии Δf [63, 64, 77]. Подстановка $\bar{\gamma}$ из (38) в (39) дает точное выражение

$$S \Delta f = \frac{\Delta \varepsilon (\lambda + \sigma)}{4\pi N_f (1 - \alpha_f)(\lambda + 2\alpha_f)}, \quad (166)$$

$\bar{\gamma}$ и σ даются формулами (34) и (146), а $\alpha_f = \Delta f/3\bar{f}$. Поскольку даже в ЖК с большой анизотропией локального поля $\alpha_f \approx -0,03$, а $\sigma_0 \approx 0,2$ [38, 41, 75], то при анализе эффектов локального поля можно в (166) пренебречь членами $\sim \alpha_f \sigma_0$, α_f^2 и более высокого порядка, переписав (166) в виде

$$S \Delta f = \frac{\Delta \varepsilon}{4\pi N_f \bar{f}} \left[1 + \frac{(\bar{\varepsilon} - 1 + \Delta \varepsilon/3)}{3\bar{f}} \left(\frac{\tau}{\tau_k} - 1 \right) \right] = \frac{\Delta \varepsilon}{4\pi N_f \bar{f}} [\lambda + \sigma]. \quad (167)$$

Сравнение формул (9), (34), (43), (146) и (167) показывает, что поправка $\sigma = \sigma_0 - \alpha_f$ на анизотропию локального поля содержит вклады слагаемого $\Delta f \sim S$ и практически не зависящего от S слагаемого σ_0 , при чем вклад последнего является определяющим. $\sigma \geq 0$ при $\Delta f \leq 0$, или при $|\tau| \gtrsim |\tau_k|$. Поэтому при фиксированном S рассмотренным выше моделям тензора $\bar{\gamma}$ соответствуют следующие неравенства

$$\Delta f(26, 83, 84) < \Delta f(34, 35) < \Delta f(26, 48), \quad (168)$$

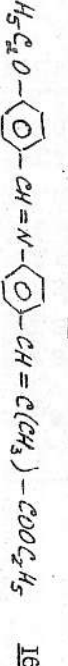
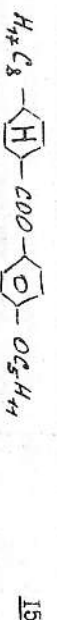
где второе неравенство отвечает случаю $\Delta f < 0$. В моделях (34) и (26, 83, 84) величина $\bar{\gamma}$ одинакова, т. к. определяется по одной формуле (79). Использование (34) вместо (35) приводит к некоторому повышению величин

$\bar{\gamma}$ (80), Δf (167) и различию значений $\bar{\gamma}$ в изотропной жидкости и мезофазе. Из (80) и (168) получаем следующие соотношения компонент

$$\gamma_x(26, 83, 84) > \gamma_x(34, 35) > \gamma_x(26, 48), \quad (169)$$

Эти неравенства являются общими следствиями предположений, на которых основано определение компонент $\Delta f, \sigma$ в соответствующих моделях локального поля, не зависят от свойств конкретных объектов и подтверждают все известными результатами исследования нематических и одноносных смектических ЖК.

Проведенный анализ неприменим к тензору \bar{f} (26) с компонентами λ_f (109) из-за зависимости λ_f (Δf), и для сравнения с (169) необходимо непосредственно использовать соотношения (106). Параметры m в (108) можно определить по той же процедуре, как и в модели де М-Бордевайка (п. 1.5) [7, 74]. В Таблице 5 представлены компоненты тензора \bar{f} для соединений $\text{I}_4\text{-}\text{I}_6$,



найденные в рамках обсуждаемых моделей локального поля и молекулярно-статистических подходов по изве-^тным значениям показателей прегомлениий $\kappa_{\eta,\perp}$ ($\lambda_f = 589$ нм) и абсолютным значениям S , измеренным методом ЯМРГРЧ.

Эти соединения имеют близкие значения $\kappa_{\eta,\perp}$, но существенно различаются величиной λ_f при фиксированном S , что указывает на заметное различие их параметров Δf . Замена бензольного кольца на циклогексановое при переходе от I_4 к I_5 нарушает π -электронное сопряжение акцепторной мостиковой группы COO с донорной алкильной целью, что должно привести к снижению Δf . Условленное этим снижение Δf частично компенсируется более длинной целью в эфирном фенильном кольце I_5 , одновременно увеличивающей γ_x . Таким образом, исходя из химической и электронной структуры молекул, при переходе от I_4 к I_5 следует ожидать снижения Δf , слабого изменения γ_x и увеличения γ_x [185]. В молекуле I_6 , в отличие от I_4 и I_5 , имеет место поларное сопряжение акцепторной группы COO с донорной алкокси-группой через все фрагменты молекулярного острова. Это должно приводить к заметному увеличению пар-

Таблица 5. Молекулярная поляризуемость (Å^3 , $\lambda=589 \text{ нм}$) жидких кристаллов 14-16 [78, 144].

ЖК	δ	Δn	Модели локального поля											
			(26), (83), (84)				(35)				(102)		(106)	
			γ_e	γ_t	γ_e	γ_t	γ_e	γ_t	γ_e	γ_t	γ_e	γ_t	γ_e	γ_t
<u>14</u>	0,270	0,069	52,6	37,0	58,5	34,1	74,7	32,8	80,7	27,7	-	-	-	-
<u>N</u>	0,310	0,080	56,4	35,1	58,7	33,9	75,0	32,7	78,7	28,3	-	-	-	-
<u>N</u>	0,405	0,100	55,5	35,5	57,8	34,3	74,0	33,0	76,5	29,5	-	-	-	-
<u>N</u>	0,515	0,123	54,5	36,0	57,2	34,7	73,4	33,2	74,4	30,7	-	-	-	-
<u>16</u> A	0,540	0,126	55,0	35,8	57,3	34,5	73,5	33,1	-	-	-	-	-	-
	0,577	0,138	55,6	35,5	57,1	34,5	73,4	33,1	-	-	-	-	-	-
	0,605	0,147	55,7	35,4	57,1	34,4	73,9	32,9	-	-	-	-	-	-
	0,620	0,153	55,6	35,1	57,0	34,2	73,6	32,7	-	-	-	-	-	-
<u>15</u>	0,240	0,033	54,1	45,1	59,2	42,7	76,6	39,8	84,6	33,9	-	-	-	-
<u>N</u>	0,265	0,039	53,3	45,5	60,0	42,3	77,6	39,5	83,5	34,6	-	-	-	-
<u>N</u>	0,450	0,057	53,0	45,4	58,2	43,0	75,6	39,9	78,3	37,1	-	-	-	-
<u>N</u>	0,475	0,059	53,3	45,3	57,9	43,0	75,4	39,9	76,9	37,2	-	-	-	-
<u>16</u>	0,325	0,148	67,7	32,9	71,8	30,6	86,9	31,4	93,6	26,4	-	-	-	-
<u>N</u>	0,400	0,170	64,4	34,4	70,1	31,6	85,4	32,1	90,0	27,9	-	-	-	-
<u>N</u>	0,580	0,250	64,4	34,4	70,3	31,5	85,9	32,0	89,4	29,3	-	-	-	-
<u>N</u>	0,760	0,321	63,4	34,6	69,4	32,0	85,5	32,3	87,0	30,3	-	-	-	-

Метров $\Delta \gamma$ и γ_e в 16 по отношению к 14 и 15 [85].
 Анализ табличных данных подтверждает справедливость общих соотношений (168), (169) и показывает, что модели (102) и (106) соответствуют эффективной величине $\Delta f < 0$. Все модели предсказывают ожидаемое снижение $\Delta \gamma$ при переходе от 14 к 15, однако относительные величины этих изменений в различных моделях существенно отличаются. Если в моделях Нойтебауэра и Вукса $\Delta \gamma$ уменьшается в среднем в 1,8-1,6 раз, то согласно соотношениям (102) и (106) — только на 17-6%. Поскольку относительные изменения $\Delta \gamma$ при фиксированном S должны быть одного порядка [38, 43], то табличные данные по $\Delta \gamma$ свидетельствуют о заниженном изменении $\Delta \gamma$ в двух последних моделях. Далее следует отметить большое различие величин $\Delta \gamma$, даваемых разными моделями для каждого фиксированного объекта, причем это различие быстро увеличивается при уменьшении молекулярно-оптической анизотропии в ряду 16-14-15. Если соотношение параметров $\Delta \gamma$ для моделей Вукса и Нойтебауэра при этом меняется слабо, то значения $\Delta \gamma$ в моделях (102) и (106) превышают их в среднем в 1,5-2 (16), 2-2,5 (14) и 3-4 (15) раза. Последнее свидетельствует об эффективном увеличении анизотропии локального поля в рамках моделей (102), (106) с уменьшением молекулярно-оптической анизотропии ЖК, что противоречит теоретическому (пп. I.2, I.5) и экспериментальному [38, 43, 48] фактам изотропизации локального поля в ЖК с малым Δn . Таким образом, переоценка роли стерических межмолекулярных корреляций в рамках моделей (102), (106) не учтет корреляций, обусловленных дисперсионным взаимодействием молекул и зависящих от химической и электронной структуры последних, приводит к нарушению требования З (п. I. II.).

Анализ зависимости $\bar{\gamma}$ от фазового состояния ЖК (п. 2.1.1.) и проведенный здесь анализ Таблицы 5 показывает, что корректная модель локального поля должна занимать промежуточное положение между изотропным приближением и моделью де Же-Бордевийка и удовлетворять всем трем указанным выше требованиям п. I. II. Такое исследование было проведено в работе 35 для соединения 14, являющегося объектом международного комплексного изучения разными методами. Для определения компонент $\gamma_{\parallel}, \gamma_{\perp}$ в (26) для 14 использовалась модель эффективной лоренцевой полости и соотношения (47)-(49). Для молекулы 14 $2C=26 \text{ \AA}$, $2A=7 \text{ \AA}$ [86] и $T_{\max}=0,125$. Рефрактометрические данные 14 [87] в нематической фазе при различных длинах волн λ хорошо аппроксимируются зависимостью (49), где параметры $T_1-T_C=1^0$ и $\beta=0,28$ практически не зависят от λ . При $\lambda=589 \text{ nm}$ значение $\Delta n_{\max}=0,350$ близко к экспериментально измеренному для кристалла $\Delta n=0,320$ [188] и формулу (48) можно использовать для расчета $\gamma_{\parallel}, \gamma_{\perp}$ и в смектической А фазе 14. Анизотропия Δf в 14 мала: для

метров $\Delta \gamma$ и γ_e в 16 по отношению к 14 и 15 [85].

Анализ табличных данных подтверждает справедливость общих соотношений (168), (169) и показывает, что модели (102) и (106) соответствуют эффективной величине $\Delta f < 0$. Все модели предсказывают ожидаемое снижение $\Delta \gamma$ при переходе от 14 к 15, однако относительные величины этих изменений в различных моделях существенно отличаются. Если в моделях Нойтебауэра и Вукса $\Delta \gamma$ уменьшается в среднем в 1,8-1,6 раз, то согласно соотношениям (102) и (106) — только на 17-6%. Поскольку относительные изменения $\Delta \gamma$ при фиксированном S должны быть одного порядка [38, 43], то табличные данные по $\Delta \gamma$ свидетельствуют о заниженном изменении $\Delta \gamma$ в двух последних моделях. Далее следует отметить большое различие величин $\Delta \gamma$, даваемых разными моделями для каждого фиксированного объекта, причем это различие быстро увеличивается при уменьшении молекулярно-оптической анизотропии в ряду 16-14-15. Если соотношение параметров $\Delta \gamma$ для моделей Вукса и Нойтебауэра при этом меняется слабо, то значения $\Delta \gamma$ в моделях (102) и (106) превышают их в среднем в 1,5-2 (16), 2-2,5 (14) и 3-4 (15) раза. Последнее свидетельствует об эффективном увеличении анизотропии локального поля в рамках моделей (102), (106) с уменьшением молекулярно-оптической анизотропии ЖК, что противоречит теоретическому (пп. I.2, I.5) и экспериментальному [38, 43, 48] фактам изотропизации локального поля в ЖК с малым Δn . Таким образом, переоценка роли стерических межмолекулярных корреляций в рамках моделей (102), (106) не учтет корреляций, обусловленных дисперсионным взаимодействием молекул и зависящих от химической и электронной структуры последних, приводит к нарушению требования З (п. I. II.).

$\lambda = 589$ нм отношение $\Delta f / \bar{f} = -0,025$ ($T = T_0 = 0^\circ$) и $-0,057$ ($10,5^\circ$). Это объясняет хорошее согласие результатов определения S в нематической фазе 14 методом оптического зондирования в области $\lambda \approx 500$ нм [189], где Δf еще более уменьшается, с данными метода ЯМР. Значения S для 14, найденные с использованием приведенных компонент $L_{\parallel, \perp}$ из дихроизма полосы ИК поглощения $\nu = 1603$ см $^{-1}$ [35] представлены на рисунке 3. Они хорошо согласуются с данными неизвестных измерений в нематической и смектической А фазах, что свидетельствует о корректности найденных по-правок на локальное поле.

Также приведены значения компонент $\chi_{\perp, \pm}$, найденные по формулам

$$\chi_c = \bar{\chi} + 2(\chi_{\parallel} - \chi_{\perp})/3S, \quad \chi_{\perp} = \bar{\chi} - (\chi_{\parallel} - \chi_{\perp})/3S, \quad (17)$$

где $\bar{\chi} = (\chi_{\parallel} + 2\chi_{\perp})/3$. В учете использовались рефрактометрические ($\lambda_c = 589$ нм [387]), дихрометрические [190] и приведенные на рис. 3 структурные данные. Величина $\bar{\chi}$ при переходе I-N и N-S_A ($T_c - T = 6^\circ$) сколько-то увеличивается, в нематической фазе возрастает с ростом S , а в смектической фазе изменяется незначительно вследствие слабого изменения S . Изменение параметров $\chi_{\perp, \pm}$ и $\Delta \chi$ наблюдается лишь в нематической фазе, где S заметно возрастает. Тот же самый характер температурных зависимостей $\chi_{\perp, \pm}$ и $\Delta \chi$ виден из Таблицы 5 для 14 и других ЯИ. Эти особенности изменения поляризуемости не зависят от модели локального поля, а являются следствием перенормировки поляризуемости за счет изменения межмолекулярных взаимодействий при изменении ориентационного порядка. Поведение всех параметров $\bar{\chi}$, $\chi_{\perp, \pm}$ и $\Delta \chi$ качественно соответствует предсказанному ранее [6] для индуциционного механизма изменения поляризуемости.

Дополнительный взгляд в изменение этих параметров в мезофазе может

внести возможное исказение конформации ароматического остова молекул 14 [186], связанное с изменением внутреннего угла φ между плоскостями групп NO_2 и бензольного кольца. Это влияет на π -электронное сопряжение фрагментов и силу диполятора $\mathcal{F}^p = \mathcal{F}_0^p + \mathcal{F}_1 \cos^2 \varphi$ длинноволнового электронного перехода в 14. Согласно [188, 185], в данном случае

$$\bar{\chi} = \chi_0 + \frac{\varepsilon}{3} \cos^2 \varphi, \quad \Delta \chi = \Delta \chi_0 + \varepsilon S_p \cos^2 \varphi, \quad (17)$$

где χ_0 и $\Delta \chi_0$ — вклады в поляризуемость, не зависящие от изменения конформации, $\varepsilon \sim 4$, $\beta \approx 10^\circ$. Увеличение φ с ростом ориентационного порядка [186] может частично компенсировать увеличение $\bar{\chi}$ и $\Delta \chi$ за счет индукционного механизма и усиливать снижение χ_{\perp} и $\Delta \chi$, что объясняет заметную величину температурного изменения последних двух

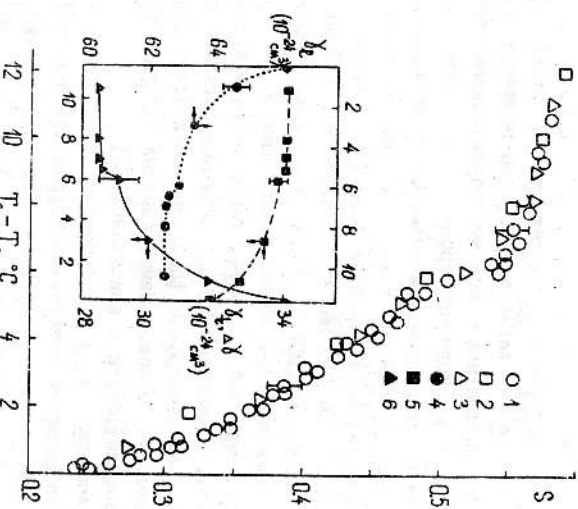


Рис. 3. Температурные зависимости параметра поляризуемости S и компонента $\chi_{\perp, \pm}$ молекулярной поляризуемости в мезофазе 14. 1 — результаты ИК спектроскопии [35], 2 и 3 — данные метода ЯМР соответственно из [188, 189], 4 — $\chi_{\perp, \pm}$, 5 — χ_{\perp} , 6 — $\Delta \chi$.

параметров в 14. Сравнение данных Таблицы 5 и рис. 3 показывает, что по соотношению компонент $\chi_{\perp, \pm}$ использованная здесь модель локального поля занимает промежуточное положение между моделью Вукса и де Бор-Бордевикса и удовлетворяет требованиям I-3 (п. 1.1).

Остановимся на результатах работ [188, 189], интерпретированных в предположении независимости $\Delta \chi$ для 14 от фазового состояния. В [189] значения S были получены из рефрактометрических данных по формуле (167) с \bar{f} (35) и $\beta = 0$, а величина $\Delta \chi$ определялась нормировкой S_c на значение 0,28, которое выше экспериментально наблюдавшегося близко. В результате анизотропия $\Delta \chi$ для 14 189 получилась заниженной вблизи T_c и завышенней в смектической А фазе. Это привело к соотношениям S_c

> $S_{\text{амп}}$ вблизи T_c и $S_{\text{рефр}} < S_{\text{амп}}$ в смектике А (рис. I в [189]). В [188] методика определения S аналогична [189], но величина $\Delta\gamma$ рассчитывается по показателю преломления монокристаллического образца по формулам Вукса [22]. Применение подобной процедуры к данному объекту нуждается в обосновании по следующим причинам. Согласно приведенным в [188] значениям $\gamma_{\perp\perp}$, при $\lambda=589 \text{ нм}$ $\bar{\gamma}=47,2 \text{ \AA}^3$. Из рефрактометрических данных [187] и плотности [190] изотропной фазы $\frac{14}{14}$ получаем гораздо меньшие величины $\bar{\gamma}=42,32 \text{ \AA}^3$ ($\lambda=589 \text{ нм}$) и $\bar{\gamma}=43,06 \text{ \AA}^3$ (509 нм). Далее, из рефрактометрических данных [187, 188] при $\lambda=589 \text{ нм}$ и плотности [190, 191] находится, что соотношение (9) с $\text{Const}=0,287$ выполняется для изотропной, нематической и смектической фаз $\frac{14}$, тогда как в кристаллической азете $\text{Const}=0,329$. Поэтому значение $\Delta\gamma$, найденные согласно процедуре [22], нельзя переносить на мезоморфные фазы. Причиной этого расхождения может быть различие межмолекулярного взаимодействия и характера ассоциации молекул $\frac{14}$ в мезофазе [186] и в кристалле [188].

Если перенормировка $\bar{\gamma}$ в мезофазе слабая, то определенные заключения о степени применимости какой-либо модели локального поля можно сделать, путем сличения значений $\Delta\gamma$ с теми же, измеренными экспериментально независимыми методами в изотропной фазе ЖБ или изотропном растворе. Например, для 5СВ значение $\Delta\gamma=26,5 \text{ \AA}^3$ ($\lambda=589 \text{ нм}$), полученное экспериментальной температурной зависимостью $\Delta\gamma(\lambda T)$ в нематической фазе [77] к $T=T_c$, хорошо согласуется с величиной $\Delta\gamma=27 \text{ \AA}^3$, найденной в той же спектральной области из данных по оптическому эффекту Керра в изотропной фазе 5СВ [192]. Это подтверждает корректность модели (47)–(49) с данными Таблицы 1, использованной г. [77] для определения $\sum_i f_i$ в 5СВ. Влияость величины $\Delta\gamma=23,6 \text{ \AA}^3$ ($\lambda=633 \text{ нм}$), найденной для МВВА по формуулам (35) и (167) в приближении $\sigma=0$ [45], к измеренной методом светорассеяния в изотропном растворе $\Delta\gamma=25,4 \text{ \AA}^3$ [79] свидетельствует о малой анизотропии $\Delta f < 0$ для МВВА в этой спектральной области, что также подтверждается расчетом по (20) [63] и экспериментом [64].

Сравнение компонент $\gamma_{\perp\perp}$, полученных расчетом в рамках аддитивных схем полизуемости связей, с найденными в рамках различных моделей локального поля, может служить критерием применимости последних только для мезогенных молекул с насыщенными фрагментами, т.к. при наличии сопряжения фрагментов аддитивные схемы всегда дают различные значения параметров $\bar{\gamma}$, $\gamma_{\perp\perp}$ и $\Delta\gamma$ [27, 78].

При наложении абсолютных значений S учет анизотропии локального поля в (167) не изменяет качественного поведения $\Delta\gamma(\lambda T)$ в пределах гомологического ряда. Изотропное приближение $\sigma=0$ уменьшает приращение $S(\Delta\lambda)$ на CH_2 -группу в (1+6) раз, но изменения характера альтерации

$\Delta\gamma(\lambda T)$. Поэтому представляет интерес зависимость $\Delta\gamma(\lambda T)$ в рамках модель (102), формально несводимой к (167). Результаты расчета зависимости $\gamma_{\perp\perp}(\lambda T)$ при $T=T_c$ для гомологических рядов II и III представлены в Таблице 6.



Таблица 6. Изменение молекулярных параметров в гомологических рядах II и III согласно модели (102) [74].

Ряд	п	$\Delta\gamma$		$\gamma_{\perp\perp}$	$\Delta\gamma$	$\gamma_{\perp\perp}$	$\Delta\gamma$
		A	$\text{A}^3, \lambda=546 \text{ нм}$				
II	I	17,4	6,40	67	22	44	61
	2	19,9	6,54	77	25	52	72
	3	22,2	6,52	51	29	52	75
	4	24,6	6,57	90	31	59	85
	5	27,2	6,54	98	35	63	88
	6	29,7	6,57	106	37	68	99
	7	32,3	6,56	III	41	70	103
	8	34,7	6,57	IV	43	76	112
III	3	19,5	6,67	69	28	41	66
	4	21,7	6,60	76	32	45	74
	5	24,3	6,70	86	34	52	81
	6	26,6	6,65	91	37	54	87
	7	29,2	6,69	101	40	61	94
	8	31,7	6,67	104	44	60	97

Инкремент длины сфероида $\delta l=1,25 \text{ \AA}$, приходящийся на CH_2 -группу, постоянен для всей цепи и равен проекции связи C-C на продольную ось алкильной цепи в транс-конформации. Для всех гомологов поперечный размер маточеского сфероида близок к эффективному поперечнику жесткого ароматического остова ($\sim 6,6 \text{ \AA}$) при свободном вращении молекулы во внутренней цепи в транс-конформации. Для обоих рядов наименьший диаметр всего ряда и равен проекции связи C-C на продольную ось алкильной цепи в транс-конформации. Для всех гомологов поперечный размер маточеского сфероида близок к эффективному поперечнику жесткого ароматического остова ($\sim 6,6 \text{ \AA}$) при свободном вращении молекулы во внутренней цепи в транс-конформации. Для обоих рядов наибольшее значение $\Delta\gamma$ при определении параметра $\Delta\gamma$ предполагается соосностью продольной оси остова и цепи в транс-конформации. Для обоих рядов наименьшее значение $\Delta\gamma$ при определении параметра $\Delta\gamma$ предполагается соосностью длинной оси остова и цепи в транс-конформации. Для обоих рядов наименьшее значение $\Delta\gamma$ при определении параметра $\Delta\gamma$ предполагается алтернирующей зависимостью $\Delta\gamma(\lambda T)$, причем изменение $\Delta\gamma$ при переходе от нечетного к четному (от четного к нечетному) гомологу для ряда III значительно больше. Это качественно согласуется с пространственной структурой молекулы, но противоречит исходному предположению о соосности остова и цепей. В последнем случае зависимость $\Delta\gamma(\lambda T)$ должна быть линейной. Отметим также сильное расхождение среднего в пределах каждого ряда инкремента $\delta(\Delta\gamma) \approx 2 \text{ \AA}^3$ ($\lambda=546 \text{ нм}$), приходящего-

ся на CH_2 -группу, с аналогичной величиной $\approx 0,5 \text{ \AA}^3$ для нормальных парофинов, полученной из данных [193] по светорассеянию в газовой фазе. Наконец, из Таблицы 6 следует отсутствие дисперсии компонент χ_{\pm} в областях томологических рядов. Более тщательное исследование томологов $n=1, 2$ ряда II в кристаллической фазе [74] и томолога $n=7$ ряда II в мезофазе [194] показывает наличие слабой нормальной дисперсии компоненты χ_{\pm} в видимой области.

На текущую связь дисперсии χ_{\pm} с особенностями локального поля указывали результаты работ [7, 27, 74, 195], где для целого ряда ЖК отмечалась наличие нефизической области аномальной дисперсии χ_{\pm} в видимой области спектра при определении χ_{\pm} в изотропном приближении по Φ [2-м уравнениям (35) и (167) с $\delta=0$. Вопрос о взаимосвязи особенностей локального поля с величиной и дисперсией компоненты χ_{\pm} был подробно исследован в работе [63].

2.1.3. Связь дисперсии тензоров локального поля и молекуларной полимеризуемости

Постановка $\Delta\chi$ из (167) в выражение $\chi_{\pm} = (\bar{\chi} - \Delta\chi/3)$ и обозначение

$$\chi''_{\pm} = \bar{\chi} - \frac{\Delta\epsilon}{12\pi N S \bar{f}} = \frac{3(\bar{\epsilon}-\epsilon + \Delta\epsilon/3)S}{4\pi N (\bar{\epsilon}\tau + 2 + 2\tau_k \Delta\epsilon)} \quad (172)$$

для ϵ с учетом (146) следующую связь

$$\chi''_{\pm} = \chi_{\pm} + \frac{(\bar{\epsilon}-\epsilon + \Delta\epsilon/3)^2}{4\pi N S \bar{f}^2} (\tau_k - \tau) \quad (173)$$

компоненты χ''_{\pm} , соответствующей изотропному приближению $\Delta f = \delta = 0$, с истинным значением χ_{\pm} , соответствующим корректному учету анизотропии Δf . Отсюда видно, что при $\lambda \geq \lambda_0$ и $(\tau_k - \tau) \geq 0$ имеет место

$\chi''_{\pm} \geq \chi_{\pm}$. Если в видимой области спектра для фиксированного ЖК $\Delta f < 0$, то с ростом λ изотропное приближение приводит к все большему завышению определяемых значений χ''_{\pm} в сравнении с действительными χ_{\pm} и возможно смена нормальной дисперсии χ_{\pm} на аномальную при $\lambda = \lambda_2$ [рис. 4], что и наблюдалось в работах [7, 27, 74, 195]. Из-за слабой дисперсии χ_{\pm} в этой области положение точки λ_2 весьма чувствительно к величине S . Поэтому, использование более высоких (низких) абсолютных значений S вместо относительных снижает (повышает) коэффициент при $(\tau_k - \tau)$ в (173) и может сместить точку λ_2 в более длинноволновую (коротковолновую) область спектра. Первая из этих возможностей реализуется в E^B , где использование абсолютных значений S [44, 77] вместо относительных [7, 195] устраняет точку λ_2 в видимой области спектра.

Поскольку значение λ_0 , где $\Delta f(\lambda_0)=0$, одинаково для всех температурных точек мезофазы (п.1.4), то при независящей от фазового состояния компоненте χ_{\pm} все граничики $\chi''_{\pm}(\lambda)$, соответствующие различным значениям температуры мезофазы, должны пересекаться в одной точке $\lambda = \lambda_0$, где значения $\tau_k(\lambda_0, S)$ совпадают с истинными значениями $\tau(S)$. Таким образом, можно найти компоненты χ_{\pm} и f_{\pm} при различных температурах в одноносных нематической и смектических фазах ЖК. В действительности же вследствие (43), (44) добавка к χ_{\pm} в (173) слабо зависит от температуры мезофазы. Поэтому из-за слабой дисперсии χ_{\pm} , возможной зависимости $\hat{\chi}$ от фазового состояния или недостаточной точности измерения параметров ϵ_{\pm} и S пересечение графиков $\chi''_{\pm}(\lambda, T)$ в одн. точке может не наблюдаться.

При $\lambda < \lambda_0$ добавка к χ_{\pm} в (173) становится ясна олицетворяющей и быстро возрастает с уменьшением λ . Это может привести к появлению еще одной области аномальной дисперсии $\chi''_{\pm}(\lambda)$ при $\lambda < \lambda_1$ в области прозрачности ЖК, что было предсказано и подтверждено в работе [63]. Во всей области прозрачности ЖК резонансная зависимость $\chi_{\pm}(\lambda)$ должна быть выпуклой вниз. Поэтому дисперсионная зависимость $\chi''_{\pm}(\lambda)$ при $\lambda < \lambda_3$, где λ_3 — точка перегиба графика $\chi''_{\pm}(\lambda)$, является эфирической. Представив (173) в виде

$$\chi''_{\pm}(\lambda) = \chi_{\pm}(\lambda) + \epsilon(\lambda) [\tau_k(\lambda) - \tau], \quad (174)$$

получаем для первой и второй производных по λ

$$(\chi''_{\pm})' = \chi'_{\pm} + \epsilon'(\tau_k - \tau) + \epsilon \tau'_k, \quad (175)$$

$$(\chi''_{\pm})'' = \chi''_{\pm} + \epsilon''(\tau_k - \tau) + 2\epsilon'\tau'_k + \epsilon \tau''_k, \quad (176)$$

где во всей области прозрачности ЖК $\chi'_{\pm} < 0$, $\epsilon' < 0$, $\tau'_k > 0$, $\chi''_{\pm} > 0$, $\tau''_k < 0$, $\epsilon'' < 0$ и эти неравенства усиливаются с уменьшением λ . Поэтому при $\lambda = \lambda_0$ и $\tau_k(\lambda_0) = \tau$ для конкретных ЖК могут реализоваться ситуации с $(\chi''_{\pm})'' \geq 0$ при $\lambda_0 \leq \lambda_1$, в том числе и такая, когда $\lambda_0 = \lambda_3$ и $(\chi''_{\pm})''|_{\lambda_3=0} \neq 0$ [63]. В последнем случае второе слагаемое в правой части (176) усиливает неравенства $(\chi''_{\pm})'' \geq 0$ при $\lambda \geq \lambda_0 = \lambda_3$. Если для конкретного объекта $\lambda_0 < \lambda_3$ и условие $(\chi''_{\pm})'' \geq 0$ выполняется в широкой области $\delta\lambda$, то при $\lambda < \lambda_0$ $\epsilon''(\tau_k - \tau) < 0$ и быстрый рост этого члена делает перегиб зависимости $\chi''_{\pm}(\lambda)$ более ярким. Для конкретных объектов наблюдение явной точки перегиба λ_3 графика $\chi''_{\pm}(\lambda)$ свидетельствует о близости $\lambda < \lambda_3$ к λ_0 , а понижение максимума χ''_{\pm} , тем более, области аномальной дисперсии χ_{\pm} при $\lambda < \lambda_1$ позволяет для оценки λ_0 принять $\tau(\Delta T) \approx \tau_k(\lambda_1, \Delta T)$. Экспериментальная проверка для

Юра Ж[64] показала достаточную обоснованность подобного приближения.

Постановка $\Delta\gamma$ из (167) в выражение $\sigma_{\mathcal{E}} = \sigma + \kappa \Delta\theta / \mu$ дает

$$y_e^u = y_e - \frac{(\bar{\varepsilon} - \varepsilon + \Delta\varepsilon/3)^2}{g_e u S F_e^2} (\tau_e - \tau), \quad (177)$$

и при $\lambda \geq \lambda_0$ имеет место $\chi_e' < \chi_e$. Во всей области прозрачности же дисперсия $\chi_e^{(N)}$ нормальная и более сильная, чем дисперсия истинной величины $\chi_e(N)$.

В модели ЭИН выполняется (83), чему в (16.) соответствует $\delta^* < 0$, причем с уменьшением λ величина $|\delta^*|$ быстро возрастает, а неравенства (169) усиливаются. Поэтому в модели ЭИН дисперсия $\gamma_{\varepsilon}^*(\lambda)$ нормальная во всей области прозрачности ЖК и более сильная, чем дисперсия истинной компоненты $\gamma_e(\lambda)$, соответствующей действительной величине $\Delta f < 0$. Это не зависит от конкретного объекта следствие подтверждается на примере всех изученных до настоящего времени ЖК. Дисперсия компоненты $\gamma_e^*(\lambda)$ слабее, чем дисперсия истинной компоненты $\gamma_e(\lambda)$ и это различие усиливается с уменьшением λ , что может привести к перегибу графика $\gamma_e^*(\lambda)$ или даже появление области аномальной дисперсии $\gamma_e^*(\lambda)$, хотя последнее маловероятно из-за сильной дисперсии компоненты γ_e . Вопрос о дисперсии $\gamma_e(\lambda)$ в модели ЭИН для широкой области спектра, включющей коротковолновую область прозрачности ЖК, пока не исследован.

Таким образом, учет знака, величины и дисперсии Δf объясняет соотношение компонент $\gamma_{e,t}$ и особенности их дисперсии, соответствующие различным моделям локального поля, а наблюдение нефизических областей аномальной дисперсии γ_e позволяет использовать их для оценки истинных параметров локального поля \hat{J} и \hat{f} из рефрактометрических данных [63, 64].

2.1.4. Поправки на анизотропию локального поля к параметру порядка

Для односоставного нематика макроскопический параметр порядка \mathcal{Q} низшего ранга пропорционален анизотропной части тензора диполемагнитной или диэлектрической восприимчивости образца I. Штеппенгальмельть $\mathcal{Q} \sim S$ нарушается из-за двусоставности тензора $\hat{\delta}$ (17) и \hat{S} (18) [180], конформационной поливалентности молекулярных фрагментов [63, 178] и анизотропии локка, этого поля, причем последний фактор является универсальным и остается в силе даже для цилиндрически симметричных жестких молекул. Появление поправки к параметру порядка \mathcal{Q} при $S=0$ и (69) в (14) приводят к следующим выражениям:

$$\mathcal{E}_{''}^{-1} = \frac{\alpha(1+\beta_1 s)}{1+\gamma s + \delta s^2}, \quad \mathcal{E}_-^{-1} = \frac{\alpha(1+\beta_2 s)}{1+\gamma s + \delta s^2}, \quad (178)$$

$$\varepsilon'' - 1 = \frac{a_1(2 + b_1 S)}{1 + d_1 S + e_1 S^2}, \quad \varepsilon_L - 1 = \frac{a_2(1 + b_2 S)}{1 + d_2 S + e_2 S^2},$$

$$d_1 = 2\alpha(1/T_{max} - g_1/g), \quad d_2 = 2\alpha^2 g_1/T_{max}, \quad (67)$$

зависит только от молекулярных свойств. Если прекращен различием плотности и $\bar{\gamma}$ в изотропной и нематической фазах, то $A = (\varepsilon_2 - 1)$ и соответственно (178) становится по форме тождественным с приведенным в работе [196]. Отсюда видно, что даже при отсутствии зависимости молекулярных свойств от дальнего ориентационного порядка, компоненты $S_{\perp, \perp}$ и разность ΔS выражаются в виде степенных рядов по параметру порядка S . При $\Delta f = 0$ подстановка (29) в (32) и (179) приводит (178) к виду (19) с $f_{\perp, \perp} = \bar{f}$ (34), где слабый рост первого слагаемого с ростом S компенсируется увеличением второго и \bar{f} слабо зависит от температуры мезодиэза. Таким образом, только при изотропном тензоре \bar{f} (34) с высокой точностью выполняется пропорциональность $A \sim \Delta S \sim S$.

При известных значениях Δf , полученных из независимых измерений, по формуле (167) можно определить абсолютные значения S из рефрактометрических данных. При фиксированном Δf и $b \geq 0$ из (167) следует $S \geq S_0$, где параметр S_0 соответствует изотропному приближению $b = 0$. Поскольку основной вклад в S слабо зависит от температуры мезодиэза, температурная зависимость параметров S и S_0 , полученные нормировкой при фиксированном ΔT , хорошо согласуются между собой во всем интервале мезофазы [31, 33, 176, 197-199]. Для всех исследованных к настоящему времени нематических и одноосных смектических ЖК в видимой области времени при фиксированном Δf для широко используемых моделей локального поля (35) и (26), (83), (84) должны выполняться неравенства

$$S(26, 84, 83) < S(34, 35) < S(26, 48), \quad (180)$$

объясняющие известные расхождения. S_0 , даваемых первыми двумя моделями, с результатами независимых магнитных и ЯМР измерений S [2, 23, 26, 27, 31, 33, 75]. Следует отметить, что различие величин Δf , найденных в первых двух моделях из показателей преломления монокристаллов мезогенных соединений, компенсирует различие значений S_0 в масффазе и первое неравенство в (180) превращается в приближенное равенство.

Одним из методов определения компонент $\gamma_{e,\pm}$ мезогенных молекул является использование эмпирических соотношений Вукса [22-34]

$$\frac{\gamma_j^2 - 1}{\gamma_2^2 + 2} = \frac{4\pi}{3} \eta \chi, \quad (j=1,2,3) \quad (181)$$

связывающих главные показатели преломления монокристалла с компонентами χ полисизурности в системе координат эллипсоида рефракции. Погрешность γ_j пересчет к собственным осям тензора χ дает значения компонент $\gamma_{e,\pm}$. Следования (181) основаны на предположении о справедливости формулы

$$\frac{\kappa^2 - 1}{\kappa^2 + 2} = \frac{4\pi}{3} \eta \gamma \quad (182)$$

для кристаллической фазы, независимости $\hat{\gamma}$ от фазового состояния, со-впадении осей тензора $\hat{\gamma}$ в газовой фазе и кристалле, изотропности тензора $\hat{\gamma}$ (35) и его одинаковости для трансляционно-изэквивалентных молекул в элементарной ячейке. Хотя ни одно из этих предположений с формальной точки зрения не обосновано, применение (181) к определению среднего значения $\bar{\gamma}$ и компонент γ_i для сильно оптически анизотропных органических кристаллов с жесткими молекулами типа нафтилина, анти-рацена и фонантрана дает удовлетворительное согласие с параметрами $\bar{\gamma}$, найденными по формуле (79), и с результатами измерения анизотропии

$$\Gamma^2 = \frac{1}{2} [\gamma_{xx}^2 - \gamma_{yy}^2 + (\gamma_{xx} - \gamma_{yy})^2 + (\gamma_{yy} - \gamma_{zz})^2] \quad (183)$$

этих молекул в газовой фазе или растворе. Параметр Γ^2 является интегральной характеристикой и перенормировка компонент γ_i ($i=x,y,z$) при переходе газ-раствор-кристалл может слабо проявляться в изменении Γ^2 . Тем не менее, интересно проанализировать характер имеющегося несоответствия параметров $\bar{\gamma}$ и Γ^2 . Сравнение (9), (79), (81) и (182) показывает, что при $\Delta f > 0$ величина $\bar{\gamma}$, найденная из (182), должна быть ниже, чем даваемая формулой (79). Это подтверждается для отмеченных выше молекулярных кристаллов [34]. Далее, из (168) следует, что формула (181) должна давать заниженные значения $\bar{\gamma}$ и Γ^2 в сравнении с измеренными в газе или растворе, что также подтверждается данными [34] для всех обсуждаемых здесь молекул. Таким образом, для рассматриваемых молекулярных кристаллов эфективный тензор $\hat{\gamma}$ анизотропен, причем $f_3 < f_1^2$, где f_3 соответствует наибольшему значению γ_j . Однако малое различие найденных с использованием (181) параметров $\bar{\gamma}$ и Γ^2 от измеренных в растворе свидетельствует о малой анизотропии $\Delta f = f_3 - (f_1 + f_2)/2$ для этих конкретных объектов. Ситуация здесь в определенной степени анало-

гична рассмотренному выше (п. 2.1.1) вопросу о применимости формулы (79) к изотропной жидкости, состоящей из анизотропных молекул, и, в общем, типична для оптики анизотропных молекулярных сред, когда эмпирические соотношения, удовлетворяющие данным для широкого круга объектов, оказываются формально не достаточно обоснованными или даже противоречивыми существующим теоретическим представлениям. Это указывает лишь на необходимость дальнейшего развития последних.

Следуя [35], проверим применимость формулы (187) к ПАФ (1) и ПАФ (М7), наиболее полно изученным разными методами. Температурный интервал нематической фазы ПАФ (136-167 °C) почти вдвое больше, чем у ПАФ (117-135 °C). Значения S для ПАФ также значительно выше, чем для ПАФ [23]. Данные по показателям преломления при $\lambda = 589$ нм и плотности взяты из работ [10-13]. Анизотропия поликриSTALLИЧЕСКИХ ПАФ (35, 1 АЭ) при том же значении λ найдена с использованием (161) по рефрактометрическим [200] и структурным данным [201, 202] монокристаллических образцов. Значения параметра K в (48) для ПАФ и ПАФ равны 0,272 (п. 1.5) и 0,243. Сравнение температурных зависимостей S для ПАФ и ПАФ, найденных из данных рефрактометрии и независимых измерений, показано на рисунках 5 и 6. Учет анизотропии Δf в рамках модели эффициентной лорентцевой полости устраняет расхождение данных рефрактометрии и ЯМР, значительно превосходящее точность каждого из этих методов.

2.1.5. Взаимосогласованное определение молекулярных и структурных параметров из рефрактометрических данных

Проверенный выше анализ эффектов локального поля предполагал известными из н. зависимых измерений значения S или Δf . Однако для большинства известных и вновь синтезируемых ЖК информации об абсолютных значениях S и Δf отсутствует. Поэтому в литературе широко распространены методы одновременного взаимосогласованного определения параметров S и Δf из рефрактометрических данных для мезофазы без привлечения другой необходимой информации, отсутствие которой компенсируется дополнительными предположениями различного характера. Переходим к анализу возможных и недоступных следствий этих предположений.

2.1.5.1. Экстраполационная процедура Халлера

Отсутствие рентгеновских данных о структуре большинства мезогенных соединений не позволяет использовать соотношения (181) для оценки Δf даже при наличии показателей преломления χ монокристаллов. Предположение $S = 1$ для монокристалла [204] может привести к большим неконтроли-

руемых ошибкам в определении $\Delta\gamma$ и S , т.к. длинные оси мезогенных молекул в кристалло-предшественнике смектической A или нематической фазах могут составлять большие углы с длинной осью элипсоида рефракции [205, 206], а также вследствие полиморфизма твердо-кристаллических фаз мезогенов. Поэтому для экспресс-анализа мезогенов удобна эмпирическая экстраполяционная процедура Хадлера [30, 140], которая состоит в следующем. В изотропном приближении для однокомпонентных молекул из (29) следует

$$\frac{S \Delta \gamma}{\bar{\gamma}} = \frac{\kappa_u^2 - \kappa_L^2}{\kappa_c^2 - 1}. \quad (184)$$

Эмпирически установлено, что для всех исследованных нематических ЖК логарифм правой части (184) линейно зависит от $\bar{\gamma}(T_1-T)$ во всей области мезофазы, которая в зависимости от объекта может составлять от нескольких единиц до сотни градусов. T – подгоночный параметр, причем $T_1 > T_c$. Экстраполяция этой зависимости к $T=0$ дает отношение $\Delta\gamma/\bar{\gamma}$, если предположить его неизменность с температурой и $S(T=0)=1$. Затем по формулам (79) или (182) находятся значения $\bar{\gamma}$ и $\Delta\gamma_1$.

Обычно для определения $\Delta\gamma$ в экстраполяционной процедуре используется выражение

$$S \Delta \gamma = \frac{\kappa_u^2 - \kappa_L^2}{4 \pi N_f^2} \quad (185)$$

с формулой $\bar{\gamma}$ (35). При этом получаемые значения $\Delta\gamma_1$ оказываются на несколько процентов заниженными в сравнении с найденными по (182) из данных для монокристаллов [140, 176]. Использование в экстраполяционной процедуре полной формулы (34) улучшает согласие этих величин. Например, для аниазольдазина 18



значение $\Delta\gamma_1=39,8 \text{ } \text{A}^3$ ($\lambda=589 \text{ нм}$), полученное с использованием $\bar{\gamma}$ (34), практически совпадает с величиной $\Delta\gamma=39,7 \text{ } \text{A}^3$, найденной по (182) [24], в отличие от $\Delta\gamma_1=37,3 \text{ } \text{A}^3$, полученного с использованием $\bar{\gamma}$ (35) [176]. Для ЦА значения $\Delta\gamma_1=32,2 \text{ } \text{A}^3$ ($\lambda=589 \text{ нм}$), найденное с формулой (34), лучше согласуется с приведенной выше величиной $\Delta\gamma=34,7 \text{ } \text{A}^3$, чем со значением $\Delta\gamma=31,4 \text{ } \text{A}^3$ [140], полученным с формулой (35).

Экстраполяционная процедура дает относительную величину S , температурная зависимость которой в ограниченном температурном интервале мезофазы незначительно отличается от зависимости абсолютной величины S . Из-за слабой температурной зависимости параметра S .

Состнотение параметров $\Delta\gamma$, получаемых экстраполяцией, с истин-

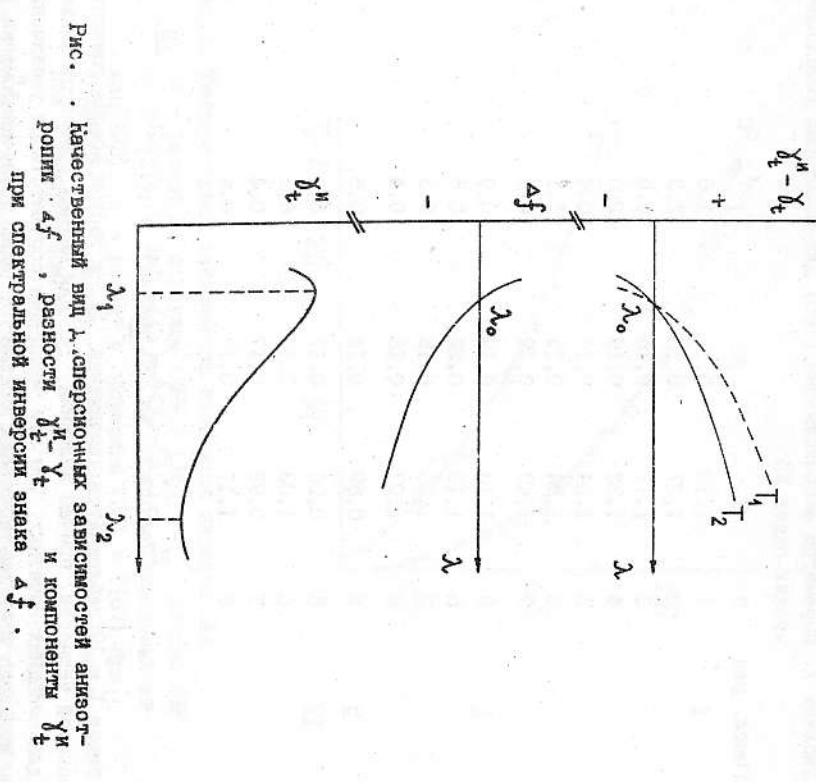


Рис. – качественный вид λ -спектральных зависимостей анизотропии Δf , разности $\chi_t'' - \chi_t'$ и компоненты χ_t' при спектральной инверсии знака Δf .

ними значениями Δf определяется не только величиной σ ($T=0$), но и абсолютной величиной $S_0 = S(T=0)$. Как показывает опыт, во всей области мезофазы температурная зависимость абсолютных значений S хорошо аппроксимируется эмпирической формулой

$$S = S_0(1 - T/T_1)^{\beta}, \quad (186)$$

получившей обоснование в рамках теории Ландау в работе [109]. Для исследованных к настоящему времени ЖК входящие в (186) параметры изменяются в пределах $T_1 - T_2 = 22,0^\circ$, $\beta = 0,18 \pm 0,04$, $S_0 = 1,1 \pm 0,2$, причем значение S_0 изменяется в пределах гомологического ряда, обнаруживал четко-нечетную альтерацию. Таблица 7 представлена входящие в (186) параметры для гомологических рядов 1 [31], 2 [108], 3 [38] и 19 [109].

Таблица 7. Параметры аппроксимации (186) для некоторых гомологических рядов ЖК

Гомол. ряд	п	S_0	β	$T_{\text{I}} - T_c, ^\circ\text{C}$
I	1	1,13	0,19	1,8
	2	1,27	0,18	3,3
	3	1,11	0,16	0,5
	4	1,32	0,19	2,0
	5	1,24	0,18	0,4
	6	1,34	0,19	1,1
	7	1,40	0,19	0,8
2	5	1,13	0,19	0,9
	6	1,19	0,22	0,5
	7	1,60	0,15	0,3
	8	1,07	0,16	0,4
	5	0,89	0,14	0,8
	6	0,90	0,17	0,6
	7	0,99	0,18	0,3
19	6	1,03	0,17	0,4
	7	0,99	0,17	0,4
	8	1,11	0,17	0,4



19

Для рядов I и 19 наблюдается увеличение S_0 с ростом номера гомологов одинаковой четности, причем значения S_0 для четных гомологов больше, чем для соседних нечетных. Обе эти тенденции соответствуют увеличению длины молекулы и её альтернации с ростом n для транс-конформации цепи, что свидетельствует об относительной жесткости аллокси-цепи в мезофазе рассмотриваемых соединений. Последнее подтверждается также практическим неизменным значением β в пределах каждого из этих рядов и тем, что аналогичная изменение $S_0(n)$ альтернация наблюдается для абсолютных значений $S_0(n)$ при $T=T_c$ для ряда I и других аллокси-производных [207-209]. Поскольку для близких гомологов параметры $\beta(n)$ различны [207-209], то в рассматриваемом случае совпадения зависимостей $\beta(n)$ и $S_0(n)$ при предположении $S_0=1$ искусственно погрешность альтернации $S_0(n)$ на альтернацию определяющей значений $\Delta\gamma_T(n)$, увеличивая амплитуду изменения последних.

Для ряда 2, в отличие от I и 19, наблюдается уменьшение S_0 с рос-

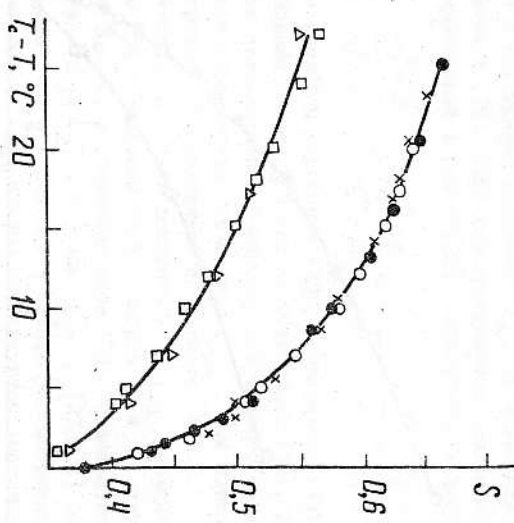


Рис.5. Температурная зависимость параметра порядка ПМА.

○ - расчет по формулам (48) и (167); ● - данные ЯМР на СГ[3]; × - данные ЯМР на протонах бензольных колец[203], △ - расчет по формулам (36) и (167) при $\sigma=0$ [23]; □ - расчет по модели ЗИН[26]. Сплошные линии - интерполяция.

Номера гомологов одинаковой четности и различные характер изменения $\beta(n)$ и $S_0(n)$, что указывает на заметную конформационную подвижность цепей данных соединений в мезофазе. Об этом свидетельствует и большое различие значений $\beta(n)$, которые связаны с характером температурного поведения параметра порядка и фазового перехода $N-T$. Взаимодействие S_0 с конформационными степенями свободы цепей приводит к зависимости S_0 от температуры и конформации цепи. Изменение температуры и конформации цепи приводят к изменению параметра β [9, 168, 178]. В данном случае предположение $S_0=1$ может привести к ослаблению амплитуды альтернации $\Delta\gamma_T(n)$, нерегулярной альтернации $\Delta\gamma_T(n)$ или - при большой амплитуде альтернации $S_0(n)$ - к альтернации определяющей значений $\Delta\gamma_T(n)$.

заключается в нахождении компонент $\chi_{\mu,\perp}$ из уравнения (78) и использовании их, затем в (19), (26) для определения компонент $\chi_{\mu,\perp}$. Второй способ, предложенный в работе [26], заключается в использовании уравнения

$$\frac{\kappa_y^2 + 2}{\kappa_y^2 - 1} + 2 \frac{\kappa_z^2 + 2}{\kappa_z^2 - 1} = \frac{3}{4\pi\nu} \left(\frac{1}{\chi_\mu} + \frac{2}{\chi_\perp} \right), \quad (188)$$

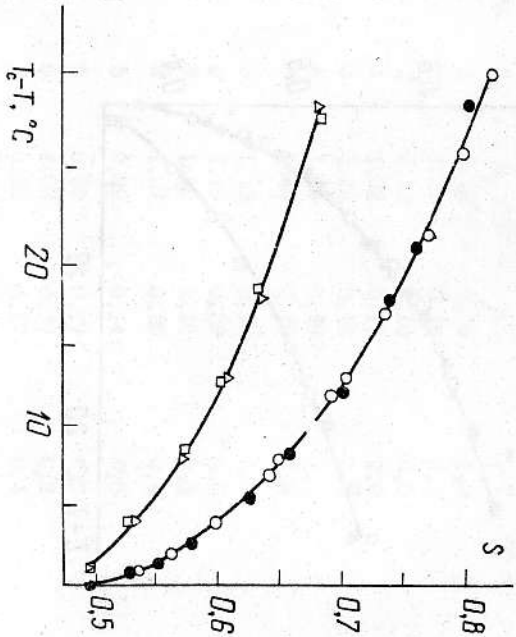


Рис. 6. Температурная зависимость параметра порядка ПАФ. Обозначения рис. 5.

$S_0(\nu)$ — к нефермийскому противоположному характеру альтернации параметров $\chi_{\mu,\perp}$ и $\chi_{\mu,\perp}$. Эти особенности наблюдались в работе [210] для гомологов ряда 20.

$$H_{S20} - \langle \circ \rangle - N = V - \langle \circ \rangle - 000 - C_n H_{2n+1} \quad 20$$

Сравнение (167) и (185) показывает, что

$$\Delta \chi_\perp = \Delta \chi S_0 / (\chi_\perp + \sigma) \quad (187)$$

и значение $\Delta \chi_\perp$ совпадает с истине при $\Delta \chi$ только при случайном равенстве $S_0 = 1 + \sigma$.

2.1.5.2. Модель Нойгебауэра

В рамках этой модели используются два эквивалентных способа определения параметров $\chi_{\mu,\perp}$. Первый из них, предложенный в работе [40],

являющегося аналогом уравнения (73), и уравнения (79) или (182). Оба способа основаны на одних и тех же уравнениях (19), (26) и (79), поэтому полностью эквивалентны. Преимуществом второго является исключение необходимости определения параметров $\chi_{\mu,\perp}$. При известных значениях $\chi_{\mu,\perp}$ параметр порядка S находится по формуле (99).

В кристаллической фазе компоненты $\chi_{\mu,\perp}$ различны и для определения их даже при совпадении сгей тензоров $\hat{\chi}$ и $\hat{\Sigma}$ двух уравнений (73) и (79), или $S_0 \hat{\Gamma} = 1$ и уравнения типа (78), оказывается недостаточным. Предположения $\chi_{\Gamma} = \chi_2$ [26, 40] или $\chi_{\Gamma} = \chi_2$ [27, 204] годятся лишь при малом различии $\kappa_{1,2}$. Поэтому в рамках рассматриваемой модели для определения компонент $\chi_{\mu,\perp}$ обычно используются экстраполяционные процедуры двух типов. Первая из них основана на расчете компонент $\chi_{\mu,\perp}$ по формулам (79), (188) и эмпирическом факте линейной зависимости $\chi_{\Gamma}(\chi_\mu/\chi_\perp)$ в мезофазе от $\chi_{\Gamma}(T-T)$ [27, 176]. Экстраполяция к $T=0$ в предположении $S_0=1$ дает значение $\chi_{\mu,\perp}$ из выражения $\chi_{\mu,\perp} = \chi_\mu/\chi_\perp$, откуда с учетом (79) можно определить $\chi_{\mu,\perp}$. Для ПАФ и никальдазина такая процедура приводит к согласию с результатами расчета $\chi_{\mu,\perp}$ из рефрактометрических данных монокристаллов в приближении $\chi_{\Gamma} = \chi_2 = \chi_\perp$ [27].

Подстановка выражений (16) с $G=0$ в (188) приводит к квадратному уравнению относительно $S \Delta \chi / \sigma$, положительное решение которого имеет вид

$$S \frac{\Delta \chi}{\sigma} = \frac{9}{4B} \left[(B^2 - \frac{10}{3}B + 1)^{1/2} + \frac{B}{3} - 1 \right], \quad (189)$$

где использовано обозначение

$$B = -\frac{4\pi\nu\bar{\chi}}{3} \left(\frac{\kappa_y^2 + 2}{\kappa_y^2 - 1} + 2 \frac{\kappa_z^2 + 2}{\kappa_z^2 - 1} \right) \quad (190)$$

Далее для $\bar{\chi}$ используется формула (79) [195] или (182) [211]. В последнем случае параметр B и правая часть (189) зависят только от $\kappa_{\mu,\perp}$. Эмпирически установлено, что логарифм правой части (189) изменяется линейно с $\chi_{\Gamma}(T-T)$ во всей температурной области мезофазы. Экстраполяция к $T=0$ в предположении $S_0=1$ дает отношение $\Delta \chi / \bar{\chi}$. Обе экстраполяционные процедуры основаны на модификации одного и того же уравне-

ния (188), вследствие чего их результаты совпадают.

Соотношение (189) эквивалентно формуле (167) с параметром τ , даваемым формулой (84), чему соответствует $\beta^* < 0$. Поэтому значения $\Delta\gamma$, полученные экстраполяцией в модели Нойтебауэра, занижены в сравнении с теми же, полученными экстраполяцией в модели Вукса. Это подтверждается для всех исследованных к настоящему времени ЖК. Поскольку экстраполяционные процедуры в рамках обоих моделей дают одинаковые величины параметра порядка ' $S_0=1$ ', то его значения в мезофазе должны соизмеряться между собой в рамках обоих моделей. Это подтверждается наиболее тщательными исследованиями [195, 211–213]. ЖК различных химических классов. Согласие относительных значений S , полученных обсуждаемыми методами, с результатами независимых измерений не может служить критерием правильности соответствующих моделей локального поля или значений $\Delta\gamma$. Т.к. эти характеристики в рамках экстраполяционных процедур взаимообусловлены. Отсюда также следует, что характер изменения $\Delta\gamma$ (η) в гомологических рядах должен быть одинаков для обоих рассматриваемых моделей локального поля, что подтверждается данными [214] для рядов 2 и 3.

2.1.5.3. Анализ практического применения моделей Вукса

Обратимся к некоторым практическим аспектам использования обсуждаемых методов в связи с их применением к смектическим А и В фазам ЖК [28, 212, 215]. Метод Нойтебауэра очень чувствителен к точности измерения плотности. Для иллюстрации этого обратимся к ГДА. В нематической фазе при $T_c-T=42^\circ$ $\rho=1,1868$, $\eta_L=1,894$, $\eta_u=1,558$ при $\lambda=589$ нм [10, 11]. В изотропной фазе при $T=T_c+1^\circ$ $\rho_i=1,143$ и $\eta_i=1,642$. Для этого набора параметров модель Нойтебауэра дает $S\Delta\gamma=15.4 \text{ \AA}^3$. Если ρ увеличить на 1%, произведение $\Delta\gamma$ и поэтому значение S (при фиксированном $\Delta\gamma$) возрастает на 11.5%. С другой стороны, из (185) видно, что в рамках модели Вукса такое изменение плотности привело бы к уменьшению S на 1%. Поэтому, если точность определения плотности невелика, более точные относительные значения S дает модель Вукса.

К большинству экспериментальным ошибкам может привести несовершенство ориентации образца. Предположим, что «глазарно» ориентированное слое ЖК директор не параллелен поверхности подложки, а наклонен к ней под углом 10° . Тогда эффективное значение η_L в ГДА снижается до 1,88, а η_u остается неизменным. Модель Нойтебауэра даст в этом случае $S\Delta\gamma=15,92 \text{ \AA}^3$, или нефазическое эффективное увеличение S на 3,4% в сравнении с образцом совершенной ориентации. В то же время использование

модели Вукса приводит в этом случае к эффективному снижению S на 4%, что и следовало ожидать. Влияние несовершенства ориентации образца на результат определения S становится особенно существенным при исследовании смектических фаз, для которых трудно получить совершенноную ориентацию. Как возможное следствие этого значения S в смектических А и В фазах исследованных в работе [212] ЖК в рамках модели Нойтебауэра оказалось заметно выше, чем в рамках модели Вукса, хотя в нематической фазе этих объектов наблюдалось хорошее согласие результатов обоих моделей.

2.2. Молекулально-оптическая и структурная анизотропия холестерических жидким кристаллов

Для планарной текстуры холестерического ЖК, состоящего из односторонних или свободно врачающихся во круг их продольных осей двусторонних молекул, аналогами уравнений (38) и (39) являются следующие соотношения [72]

$$\bar{\varepsilon}_{2x}-1 = 4\pi N \left[\bar{\gamma} \bar{f} - \frac{1}{2} S \Delta\gamma \bar{f} \right]_{2x}, \quad (191)$$

$$\Delta\varepsilon_{2x} = 4\pi N \left[\bar{\gamma} \Delta f - \frac{1}{2} S \Delta\gamma (\bar{f} + 4\bar{f}/3) \right]_{2x}, \quad (192)$$

где параметры \bar{f} и Δf даются соответственно формулами (34) и (25). Если учесть, что $\Delta\varepsilon_{2x}=\Delta\varepsilon_N/2$ (22) и пренебречь малым различием \bar{f}_N и \bar{f}_H , то уравнения (23) и (191) полностью эквивалентны, а (39) и (192) совпадают с точностью до слагаемого $(\Delta f/3\bar{f}) \ll 1$. Поэтому относительный взгляд взаимотропии Δf в двулучепреломление планарной текстуры по величине и знаку такой же, как и относительный вклад Δf_N в двулучепреломление квазинематического слоя.

Обычно двулучепреломление спироидных производных мало и на основании (20), (25) можно при их анализе ограничиться изотропным приближением, которому соответствует соотношение

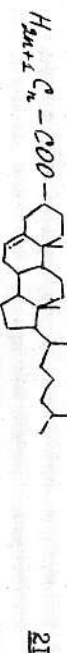
$$S\Delta\gamma = \frac{\eta_L^2 - \eta_u^2}{2\pi N \bar{f}}, \quad (193)$$

где η_L, η_u – показатели преломления планарной текстуры. Существенно отличие формулы (193) от аналогичной – (185) – для нематиков и смектиков А отражено множителем 2π в знаменателе вместо 4π , в работах [74, 216–221] для определения S в ряде холестерических ЖК использовалась формула (185) и значения S получались заниженными в 2 раза. Это позволило за собой принципиальный вывод о резко выраженным переходе первого рода между холестерической и смектической А фазами исследованных соединений со скачком $\Delta S \approx 0.3$. Исправление ошибки показывает, что на самом

деле этот переход сопровождается незначительным изменением S [72, 222]. В том же изотропном приближении из (191), (192) следует

$$S \frac{\Delta \gamma}{\bar{\gamma}} = 2 \frac{n_L^2 - n_U^2}{n^2 - 1} \quad (194)$$

Опыт показывает [72, 73, 219, 222-228], что для холестерических ЖК во всей области мезофазы логарифм правой части соотношений (193) и (194) линейно зависит от $\lg(\Gamma - T)$. На рисунке 7 представлены эти зависимости, рассчитанные по формуле (193), для эфиров холестерина 21



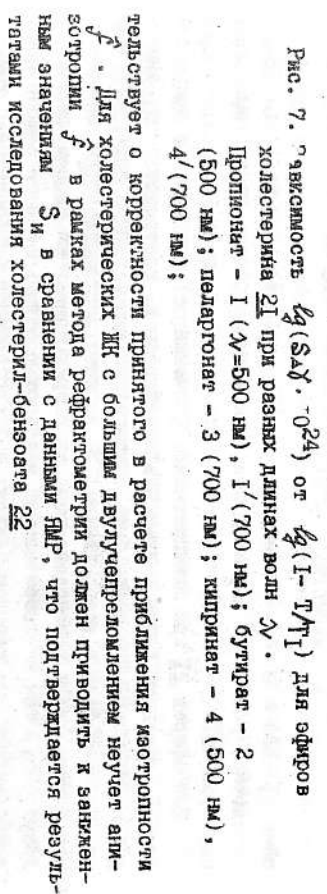
21

пропионата ($n=2$), бутирата (3), пеларгоната (8) и каприната (9). Линейность графиков означает, что в холестерических ЖК, как и в нематических, температурная зависимость S хорошо аппроксимируется формулой (186). Значения параметров β и $T_c - T$ практически не зависят от λ . Экстраполяция графиков к $T=0$ и предположение $S_0=1$ позволяет оценить значения $\Delta \gamma$ для исследованных объектов при разных λ , а затем использовать их для определения S по (193). Полученные таким образом значения $\Delta \gamma$ и рассчитанные по (34), (38) значения $\bar{\gamma}$ для обсуждаемых объектов приведены в Таблице 6.

Таблица 8. Параметры аппроксимации (186) и молекулярно-оптические характеристики (Å^3) эфиров холестерина 21 [73].

π	$\bar{\gamma}$	γ_e	γ_t	$\Delta \gamma$	$T_c - T$, $^{\circ}\text{C}$	β
				$\lambda = 500 \text{ nm}$		
2	52,92	58,59	50,09	8,50	0,5	0,166
3	54,74	60,64	51,79	8,85	0,5	0,167
8	63,64	70,71	60,11	10,60	0,4	0,165
9	65,43	72,72	61,78	10,94	1,0	0,161
				$\lambda = 700 \text{ nm}$		
2	52,09	57,68	49,30	8,38	0,5	0,167
3	53,86	59,67	50,95	8,72	0,5	0,166
8	62,63	69,58	59,16	10,42	0,4	0,164
9	64,42	71,60	60,83	10,77	1,0	0,162

На рисунке 8 представлены температурные зависимости S в холестерических эфирах из эфиров холестерина, полученные обсуждаемым здесь методом рефрактометрии и методом ЯМР на селективно дейтерированых стероидных структурах молекул эфиров [229]. Для пеларгоната наблюдается полное совпадение результатов независимых методов во всем интервале мезофазы, что свидетельствует о корректности принятого в расчете приближения изотропности



этими методами [230]. Здесь сопряжение фрагмента COO с бензольным кольцом увеличивает продольную компоненту γ_e , анизотропию $\Delta \gamma$ поляризуемости и двулучепреломление $\Delta \pi$ по сравнению с короткодцепочечными эфирами

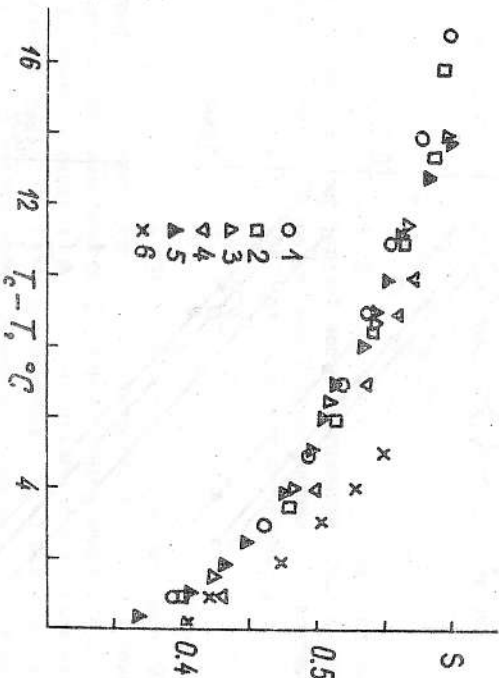


Рис. 8. Температурные зависимости параметра порядка S в квазинематических слоях эфиров холестерина 21 по данным методов рефрактометрии (1-4)[73] и ЯМР (5,6)[229].
1 - пропионат, 2 - бутират, 3 и 5 - пеларгонат, 4 - камфорат, 6 - миристат ($n=13$).

рами 21. Так и в случае нематических ЖК (рис. 5,6), для бензоата 22 абсолютное значение S_m и S увеличивается с ростом при величине температуры ΔT .

Для эфиров 21 при фиксированном значении ΔT наблюдается возрастание S с ростом длины алифатической цепи n , соответственно, анизотропии молекул. Это может быть обусловлено как сужением интервала холестерической фазы и возрастанием S за счет роста амплитуды сдвиговых флуктуаций и взаимодействия их с ориентационным упорядочением молекул [105], так и относительной жесткостью алифатической цепи эфиров при температурах, не слишком близких к T_c . Последнее согласуется с тем, что распределение интенсивности в полосах ИК спектра крутильных и веерных колебаний CH_2 -групп в алифатической цепи эфиров удовлетворительно описывается моделью связанных гармонических осцилляторов с фиксированными концами [6].

Следует подчеркнуть, что для соединений с длинными алифатическими цепями и малой анизотропией поляризуемости жесткого молекулярного остова

даже в случае малых Δf и $\Delta \gamma$ возможны большие расхождения между значениями S , измеренными методами рефрактометрии и ЯМР [178-231,232]. Этот эффект наблюдался, в частности, в работе [230] для эфира 21 лаурата ($n=11$) с малой анизотропией локального поля. При низких температурах мезофазы лаурата значение S из рефрактометрии и ЯМР практически совпадают, но с приближением к T_c расхождение увеличивается, а не уменьшается, как в случае преобразования анизотропией локального поля. Это указывает на иной механизм, приводящий к расхождению данных двух методов, который будет подробно рассмотрен ниже в п.2.4.

Анализ Таблицы 8 показывает, что для эфиров $\bar{\gamma}$ линейно возрастает с ростом n . Интервал $S(\bar{\gamma})$ на метиловую группу составляет 1,79 ($\lambda_v=500$ нм) и 1,76 д^2 (700 нм), что хорошо согласуется с аналогичными данными для других холестерических [225] и нематических ЖК [233]. Таблиценные значения $\bar{\gamma}$ для пеларгоната и камфората на 2% выше тех же, найденных в работе [234] из рефрактометрических данных монокристалла по формуле (182) и, естественно, заниженных.

Зависимость $\Delta \gamma(n)$ также имеет линейный характер, причем инкремент $S(\Delta \gamma)$, приходящийся на метиловую группу, составляет в среднем 0,35 ($\lambda_v=500$ нм) и 0,34 д^2 (700 нм). Линейная зависимость $\Delta \gamma(n)$ для обсуждаемых эфиров была установлена также в работе [218] при расчете $\Delta \gamma$ по формулам (35), (185) из рефрактометрических данных монокристаллических образцов в предположении $S=1$. Полученные величины $\Delta \gamma$ не только ниже, чем в работе [234], но и в 2 раза ниже, чем в работе [218].

Приведенные в Таблице 8 из-за несогласования длинных осей молекул в кристалле с тонкой осью элипсоида рефракции. Линейный рост $\Delta \gamma(n)$ для рассматриваемых гомологов свидетельствует об относительной жесткости взаимных цепей в мезофазе, а отсутствие четно-нечетной альтернатации в изменениях $\Delta \gamma(n)$ согласуется с малостью угла ($\sim 5^\circ$) между продольной осью стероидного остова и осью цепи в транс-конформации [235].

Малые значения анизотропии $\Delta \gamma$ и отношений $\Delta \gamma/\bar{\gamma}$ связаны с отсутствием констант ароматических фрагментов в остове 21 и сопри-
ним между ними. Это приводит к удаленному влиянию длинноволновых электронных переходов в 21, лежащих в области ≈ 200 нм [71], и слабой дисперсии $\bar{\gamma}$ и $\Delta \gamma$. Боральная дисперсия компонента χ_{\perp} в видимой области также говорит о корректности приложения $\Delta f=0$ для данных объектов, устанавливаемого требованием п.1.1. Отношение $\Delta \gamma/\bar{\gamma}$ для эфиров слабо возрастает с ростом n , т.к. относительное приращение численности на метиловую группу больше, чем относительное уширение знаменателя.

В работах [222-228] рефрактометрический метод применялся к исследованию зависимости S и $\Delta \gamma$ производных холестерина от тонких особенностей химической и электронной структуры молекул. В отличие от немати-
ческих соединений с длинными алифатическими цепями и малой анизотропией поляризуемости жесткого молекулярного остова

ких МК связь молекулярной структуры и мезоморфных свойств холестерических МК изучена пока недостаточно, несмотря на широкую область практического применения этих объектов.

Среди других методов изучения ориентационного порядка в холестерических МК интенсивно развиваются радиоспектроскопические методы ЯМР [61] ЯМР [229] и ЯМР [236-241]. Универсальная зависимость (186), впервые установленная для холестерических МК в работе [72], подтверждена исследованием ЯМР [238]. Параметр порядка S можно оценить по изменению характеристики света, взаимодействующего с геликоидальной холестерической структурой [4, 242-245].

2.3. Изменение поляризуемости в гомологических рядах

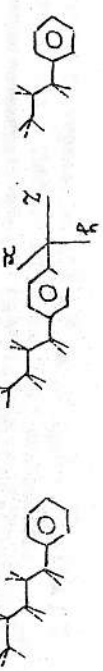
Этот вопрос заслуживает подробного анализа, т. к. характер изменения анизотропии $\Delta\gamma$ или отношения $\Delta\gamma/\bar{\gamma}$ в гомологических рядах мезопеноэфирных цепей. При известной фиксированной конформации цепи компоненты поляризуемости цепи γ_{ij} в заданной системе координат можно рассчитывать в рамках различных схем единицы поляризуемости связей или более крупных молекулярных фрагментов [246]. Существует несколько типов аддитивных схем, из которых физически наиболее последовательной является схема М.Ф.Русса [193]. В Таблице 9 приведены исходные компоненты поляризуемости связей C-C и фрагментов CH₂ и CH₃ в укачиваниях ниже системах координат. Здесь в первом случае ось З нормальна плоскости HCH, а во втором — совпадает с осью C-C.



Таблица 9. Компоненты тензоров поляризуемости некоторых фрагментов (Å^3) [193]

Фрагмент	γ_{33}	γ_{22}	γ_{11}	$\Delta\gamma$
CH ₂	1,14	1,30	1,46	-0,24
C-CH ₃ (конец цепи)	3,38	2,10	2,10	1,28
C-C (середина цепи)	1,49	0,06	0,06	1,43

Рассмотрим алкильную цепь с жесткой транс-конформацией в системе координат молекулярного стекла, когда атомы углерода лежат в плоскости U_2 , а угол $\angle C_2C_1C_3=112^\circ$. Ось Z' , нормальная плоскости CH₂-группы, составляет с осями Z и $\beta=34^\circ$. В этой системе для CH₂-группы $\gamma_{xx}=\gamma_{11}$, а компо-



При переходе от четного гомолога \underline{B} к нечетному \underline{C} изменение $\Delta\gamma$ равно $\Delta\gamma(\text{CH}_2)=0,17 \text{ Å}^3$. При переходе от нечетного гомолога \underline{B} к четному \underline{B}' изменение $\Delta\gamma$ равно

$$\Delta\gamma(\Delta\gamma)_{\text{HC}} = \Delta\gamma C-\text{CH}_3 (3\cos^2\beta - 1)/2 + \Delta\gamma\text{CH}_2 + \Delta\gamma\text{C-C} - \Delta\gamma\text{C-CH}_3 = -0,39 \text{ Å}^3$$

При переходе от четного гомолога \underline{B} к нечетному \underline{C} изменение $\Delta\gamma$ равно $\Delta\gamma(\Delta\gamma)_{\text{CH}_3} = \Delta\gamma C-\text{CH}_3 + \Delta\gamma\text{CH}_2 + \Delta\gamma\text{C-C} (3\cos^2\beta - 1)/2 - \Delta\gamma\text{C-CH}_3 (3\cos^2\beta - 1)/2 = 1,07 \text{ Å}^3$. Среднее приращение $\Delta\gamma$ на CH₂-группу для гомологов одинаковой четности равно $0,34 \text{ Å}^3$. Отметим, что полученные разными авторами значения δ_{HC} и δ_{CH_3} существенно различаются между собой из-за использования в расчете различных значений поляризуемости связей C-C и C-H, часто принимаемых приближенных изотропности поляризуемости связей C-H и равенства углов $\angle \text{CCC}$ и $\angle \text{HCH}$ тетраэдрическому [7, 214]. Например, $\delta_{\text{HC}}=-0,25$ и $\delta_{\text{CH}_3}=0,75 \text{ Å}^3$ [7, 214], $\delta_{\text{HC}}=-0,1$ и $\delta_{\text{CH}_3}=0,27 \text{ Å}^3$ [247].

При жесткой транс-конформации цепи вращение молекулы вокруг оси Z не влияет на четно-нечетную альтернацию в изменении $\Delta\gamma(\underline{n})$ и величину ингрементов $\Delta\gamma(\Delta\gamma)$. При уменьшении угла β параметры δ_{HC} и δ_{CH_3} уменьшаются по абсолютной величине, причем первый меняет знак, а при малых β альтернация исчезает и зависимость $\Delta\gamma(\underline{n})$ становится близкой к линейной, как в эфирах. В действительности же с ростом угла β уменьшается, а подвижность концевых фрагментов увеличивается из-за эффективного накопления их ориентационной раз.getLocalizationError="true"/>

стии [251]. Это должно приводить к уменьшению амплитуды альтернации $\Delta\gamma(\underline{n})$ с ростом β и насыщению зависимости $\Delta\gamma(\underline{n})$, что и наблюдается, например, для гомологов ряда II [31].

Менее тривиальна связь поведения отношения $\Delta\gamma/\bar{\gamma}$ в гомологическом ряду с конформационной подвижностью цепи. Рассмотрим молекулу, состоящую из остова и алкильной цепи в транс-конформации. Используя обозначения γ_0 и γ_0 для характеристик поляризуемости остова, можно отнести $\Delta\gamma/\bar{\gamma}$ представить в виде

$$\frac{\Delta\gamma}{\bar{\gamma}} = \frac{\Delta\gamma_0 + n\delta(\Delta\gamma)}{\bar{\gamma}_0 + n\delta(\bar{\gamma})} = \frac{c}{c' + n}, \quad (195)$$

где параметр $\delta(\Delta\gamma) = (\delta_{\text{HC}} + \delta_{\text{CH}})/2$, а $\delta(\bar{\gamma})$ не зависит от альтернации. Для четных n соотношение (195) является точным, а для нечетных его точность определяется отношением $\delta(\Delta\gamma)/\delta\gamma$ и повышается с ростом n . Коэффициенты имеют вид

$$C = \frac{\delta(\Delta\gamma)}{\delta(\bar{\gamma})}, \quad \alpha = \frac{\Delta\gamma_0}{\bar{\gamma}_0}, \quad \beta = \frac{\bar{\gamma}_0}{\delta(\bar{\gamma})}, \quad (196)$$

причем первый из них зависит только от угла β . Поскольку $\alpha, \beta > 1$ то с ростом n отношение $\Delta\gamma/\bar{\gamma}$ возрастает при $\beta > \alpha$, или

$$\frac{\delta(\Delta\gamma)}{\delta(\bar{\gamma})} > \frac{\Delta\gamma_0}{\bar{\gamma}_0}, \quad (197)$$

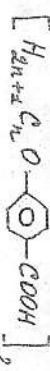
и убывает при $\beta < \alpha$, или

$$\frac{\delta(\Delta\gamma)}{\delta(\bar{\gamma})} < \frac{\Delta\gamma_0}{\bar{\gamma}_0}. \quad (198)$$

При однинаковом значении β параметр C является универсальным для всех ЖК и характеризует относительную анизотропию полярируемости метilenового фрагмента в системе координат остива. Приведенная часть неравенства (197) характеризует относительную анизотропию полярируемости остива и существенно зависит от его химической и электронной структуры. Поэтому даже при жестких цепях характер изменения $\Delta\gamma/\bar{\gamma}$ в гомологических рядах ЖК различных химических классов может быть различным. В частности, из-за сильной дисперсии $\Delta\gamma_0$ и преобразимо малой дисперсии C изменение $\Delta\gamma/\bar{\gamma}$ в одном и том же гомологическом ряду может различаться в различных спектральных областях. Отметим также, что неравенство (197) и (198) не зависят от модели локального поля, используемой для определения $\Delta\gamma$.

Из данных Таблицы 8 можно получить $\Delta\gamma_0 \approx 8 \text{ \AA}^3$, $\bar{\gamma}_0 \approx 49 \text{ \AA}^3$ и

$\Delta\gamma/\bar{\gamma}_0 = 0,16$. Для эфиров 21 в видимой области $C \approx 0,194$ и выполняется неравенство (197), в соответствии с которым отношение $\Delta\gamma/\bar{\gamma}$ уменьшается с ростом n . Для холестерилликарбонатов [225, 248] параметр C имеет то же значение, что и для эфиров, однако $\Delta\gamma_0 \approx 9,5 \text{ \AA}^3$, $\bar{\gamma}_0 \approx 50 \text{ \AA}^3$ и $\Delta\gamma/\bar{\gamma}_0 \approx 0,19$, т.е. неравенство (197) обращается в равенство, в соответствии с чем отношение $\Delta\gamma/\bar{\gamma}$ практически не изменяется с ростом n . Неравенство (198) должно выполняться для мезогенных молекул, в ароматической основе которых имеется продольная цепь сопряжения фрагментов. Действительно, для рядов 10[93, 211], II[31, 92], 23 [233, 249] и 24 [250]



23



24

различные модели локального поля дают одинаковое закономерное снижение отношения $\Delta\gamma/\bar{\gamma}$ с ростом n . Поскольку $\text{C}=\text{C}(\beta)$, то различные конформации молекул разных химических классов приводят к некоторому различию для них параметра C .

Возрастание конформационной подвижности фрагментов цепи при её удалении приводит к уменьшению $C(\beta)$, что должно сопровождаться насыщением возрастанием зависимостей $\Delta\gamma/\bar{\gamma}$ и затем их убыванием с ростом n . Такое немонотонное изменение $\Delta\gamma/\bar{\gamma}$ в ряде гомологических рядов немонотонно наблюдалось в работе [211], причем характер зависимости одинаков в рамках моделей локального поля Вукса и Нойтебауара.

2.4. Структурная и оптическая анизотропия жидкких кристаллов с гибкими молекулами

Для реальных мезогенных молекул конформация алкильных цепей в мезофазе не является жесткой и зависит от температуры, степени упорядоченности и фазового состояния ЖК. Текущая подвижность метиленовых сегментов возрастает по мере их удаления от молекулярного остива. Это приводит к различию параметров ориентационного порядка метиленовых сегментов $\langle P_{II}(\cos\theta_k) \rangle$, где P – полином Лежандра, а θ_k – угол между директором ЖК и виделенной осью k -го сегмента, которую удобно определить как нормаль к плоскости C_kH_2 соответствующего сегмента. Ориентационная статистика сегментов гибких концевых цепей в ЖК подробно исследована в работе [251]. Для интерпретации полученного изменения ЖК необходимы только параметры порядка $S_k = \langle \cos^2\theta_k - 1/2 \rangle$.

В полностью вытянутой транс(t)-конформации угол между осями соседних сегментов $\theta_k = 0$. При транс-том (\mathcal{I}^\pm)-переводе за счет поворота сегмента C-C к-го сегмента вокруг связи C-C($k-1$)-го угла между осями этих сегментов становится равным $\theta_k = 60^\circ$. Отношение вероятностей \mathcal{I}^\pm – и t – состояний k -го сегмента относительно предыдущего равно $P_\mathcal{I} / P_t = \exp(-\varepsilon_k)$, где $\varepsilon_k = E_{\mathcal{I}^\pm}(k) / kT$, $E_{\mathcal{I}^\pm}$ – эффективная разность энергий \mathcal{I}^\pm – и t – конформаций, $P_t + \sum_k P_\mathcal{I} = 1$. В мезофазе эта величина ε_k является характеристикой внутренней и межмолекулярных взаимодействий, зависит от характера молекуларной упаковки и отличается от энергии сегментов в изотропной жидкости. В общей нематической ЖК из-за структуры корреляции молекулярных цепей тщета более директора при фиксированном значении Δt можно в первом приближении считать величину

ε_k независящей от n . Следуя [178], будем описывать степень ориентации оси данного сегмента относительно оси предыдущего параметром $\Omega = \langle \cos^2\theta_{k-1} \rangle / 2$, где

$\cos^2 \varphi = P_t \cos^2 \varphi_t + 2P_s \cos^2 \varphi_s$. При фиксированной ориентации оси первого сегмента цепи относительно молекулярного остова и учете только корреляции ориентаций соседних сегментов параметр ориентационного порядка K-ых сегментов цепей молекул относительно директора ЖК равен $S_K = S_0 S_\beta Q_{K-1}$, где S_0 – параметр порядка молекулярных остовов, $S_\beta = (3 \cos \beta - 1)/2$, β – угол между продольными осями остова и цепи в t -конформации. В рамках поворотно-изомерной схемы Молькенштейна-Флори можно учесть корреляцию ориентации данного сегмента цепи с ориентацией более удаленных соседей, однако при типичных для нематического ЖК значениях $S_\beta = 2/3$ [252, 253] и относительно коротких цепях такая корреляция несущественна. Например, для полиметиленовой цепи при $\xi = 2,58$ принятая здесь модель дает $Q = 0,853$, что практически совпадает со значениями $Q(2) = 0,861$ и $Q(4) = 0,860$ [253], рассчитанными в рамках поворотно-изомерной схемы при учете корреляции ориентаций соответственно двух и четырех соседних сегментов цепи. В рамках изложенного подхода можно удовлетворительно аппроксимировать изменение язва цепи относительных значений $S_K^* = S_K/S_1$, зависящих от конформационной подвижности цепи в мезофазе (рис. 9). Для ССВ значение $\xi_N = 2,0$, соответствующее минимальному среднеквадратичному отклонению экспериментальных и рассчитанных величин S_K^* при $\Delta T = 0,5^\circ$, дает $\overline{\sin^2 \varphi}_N = 0,16$ в хорошем соответствии с данными на зависимых измерений [160].

В нематической фазе с ростом $A_{KK'}$ увеличивается анизотропия молекул и межмолекулярного взаимодействия, поникаемого энергию мезофазы. Поэтому имеется взаимодействие параметра порядка S_K ЖК с $A_{KK'}$ и оптимальное значение последнего в мезофазе больше равновесного значения $A_{KK'}$ в изотропной жидкости. Они связаны соотношением [168, 178]

$$A_{KK'} = Q_{KK'} + A_K S^2, \quad (199)$$

где коэффициент A_K слабо зависит от температуры, но, в принципе, могут различаться для разных значений K . Зависимость (199) хорошо описывает индуцированное ориентационным упорядочением возрастание эффективной жесткости цепей молекул для целого ряда нематических ЖК [178]. Отсюда следует

$$\overline{\sin^2 \varphi}_N = \overline{\sin^2 \varphi}_c - \frac{2}{3} AS^2 \quad (200)$$

и с учетом (186) эффективная флюктуации язва цепи $\overline{\sin^2 \varphi}_N$ квазикомпактно возрастает с приближением к T_c . Это было проверено с аргументом работы [160]. Увеличение A_K с ростом S_K эквивалентно увеличению относительного приращения $\Delta \xi / \xi \sim \overline{\sin^2 \varphi}$ для молекул, прилежащих к сегментам. Поэтому использование удлинения $(\xi - \xi_c)/\xi_c$ цепи в мезофазе в ка-

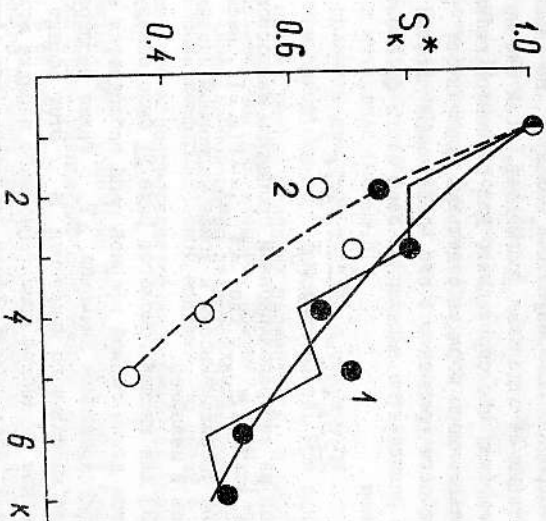


Рис. 9. Измеренные методом ЯМР [168, 252] и теоретические зависимости $S_K^* = S_K/S_1$ для гибких цепей исключ 8СВ (I, $T_c - T = 6^\circ$) [252] и 5СВ (2, $\Delta T = 0,5^\circ$) [168] в нематической фазе. Гл., кие сплошная и штриховая линии – расчет по приведенным в тексте формулам соответственно при $\xi_N = 2,8$ и $2,0$. Ломаная сплошная линия – расчет в рамках поворотно-изомерной схемы при $\xi_N = 2,8$ [252].

частие параметра, характеризующего конформационную подвижность цепи в фазах [9], эквивалентно разбитым в [178] и изложенным выше представлениям.

Рассмотрим влияние конформационной подвижности гибких цепей на двухлучепреломление ЖК и значения параметра порядка, измеряемого рефрактометрическим методом. В рамках модели эффективной лоренцевской пульсации в соответствии с экспериментом [163] анизотропия эффективного тензора f для различных фрагментов молекулы одинакова. Для одноосных нематических и смешанных ЖК с гибкими молекулами аналог уравнения (33) имеет вид [231, 232]

$$\bar{\varepsilon} - 1 = 4\pi N \left[\bar{\chi} \bar{f} + \frac{2}{3} \sum_k S_k \Delta \chi_k \Delta f_k \right], \quad (201)$$

$$\Delta \xi = 4\pi N \left[\bar{\chi} \Delta f + (\bar{f} + 4\delta/3) \sum_k S_k \Delta \chi_k \right], \quad (202)$$

где $\bar{\gamma} = \sum \bar{\gamma}_k$ — средняя поляризуемость молекулы, не зависящая от относительной ориентации её отдельных фрагментов, если это не вызывает изменения их сопряжения, что справедливо для сегментов гибких цепей. S_k — параметры ориентационного порядка отдельных фрагментов, $\Delta\gamma_k$ — анизотропия поляризуемости фрагмента в его собственной системе координат, ось S_k которой совпадает с выделенной осью этого фрагмента. Теперь место (167) имеем

$$\sum_k S_k \Delta Y_k = \frac{\Delta C}{4\pi N f} (1 + \delta), \quad (203)$$

... определенныи из экспериментальной процедуры макроскопический параметр порядка $S' = \Delta\varepsilon / \Delta\varepsilon_{\text{Max}}$, где $\Delta\varepsilon_{\text{Max}} = \Delta\varepsilon(S=1)$, несет информацию об ориентационной упорядоченности и конформационной подвижности молекулярных фрагментов в мезофазе.

В работе [243] для высших гомологов ряда 21 было обнаружено, что вблизи T_c с ростом длины гибкой эфирной цепи наблюдается заметное снижение S' при фиксированном значении ΔT_c , также расширение температурного интервала аномального изменения S' . Этот эффект был интерпретирован как снижение параметра ориентационного порядка молекул с ростом длины гибких цепей. Аналогичный эффект наблюдался для эфира 21 -лаурата в работе [250]. Однако наиболее сильный эффект этого типа среди ЖК данного ряда обнаружен недавно в работе [254] для олеата ($n=17$) с наиболее длинной цепью. Он проявляется в быстром уменьшении двуплучепреломления образца с приближением к T_c и практически его исчезновением за несколько градусов до T_c . Для нематических ЖК ряда 25 [255]



полиэтилена, приближение к T_g сопровождается монотонным снижением S' относительного значения S_0 , измеренного для макромолекулярного остова мето-дом ПМР, даже при значениях $n=3$ и 5. Все эти объекты обустроены конформационной подвижностью гибких лепестей и её температурной зависимостью. Рассмотрим молекулы, состоящие из остова и одной цепи с n метиленовыми фрагментами. С учетом приведенного выше выражения для S_k мож-

$$\sum_{k=0}^n S_k \Delta Y_k = S_0 \Delta Y_n (1-\alpha), \quad \alpha = \frac{n \delta(\alpha)}{\Delta Y_n} \left[1 - \frac{1-\alpha^n}{n(1-\alpha)} \right], \quad (204)$$

конформации цепи $\zeta = 1$ и $\alpha = 0$. При типичных для сопряженых мезоген-
ных молекул периметрах $4\chi_0 \approx 1 \text{ \AA}^3$, $\varepsilon_{\perp} = 2,0$ и $\delta(4Y) = 0,35 \text{ \AA}^3$ интер-
валу значений $\pi = 4-16$ соответствует $\alpha = 0,02-0,14$ и эффект конформаци-
онной подвижности цепи мал. Для молекул с ось-вом, содержащим насыщен-
ные циклические фрагменты, эффект заметно возрастает. Для эфиров 2I
при $4\chi_0 \approx 8 \text{ \AA}^3$ и тех же значениях ε_{\perp} и π параметр α в (204) изме-
няется теперь в интервале 0,05-0,31.

Интересно сравнить два типа молекул с одинаковым остовом, но отли-
чающихся наличием одной или двух концевых цепей. При одинаковой полной
длине цепей и прочих равных условиях параметр α в (204) для молекул
первого типа больше, чем для второго. Поэтому эфиры 2I с малой анизот-
ропией $4\chi_0$ и чистой линейной целью являются идеальными объектами для
сильного проявления конформационной подвижности цепей в оптических сво-
йствах мезофазы, что и подтверждается экспериментальными данными [230,
243, 254].

из [204] видно, что проявление подвижности цепей можно интерпретировать как эффективное уменьшение анизотропии $\Delta Y(1-\alpha)$ молекулярной поляризуемости в системе координат остига, либо как эффективное уменьшение усредненного по всем фрагментам параметра порodka $S'_0 = S_0(1-\alpha)$ молекулы. Последний вариант интерпретации соответствует принятому в работе [230, 243, 255]. Зная параметры S' и S_0 из независимых экспериментов, можно по формуле (204) оценить параметры ϱ и ξ' , характеризующие конформационную подвижность цепи на микроскопическом уровне. Так для Миристата $2I$ ($n=13$) из данных оптики $S'=0,32$ [243] и ИК $\tilde{S}_0=0,4$ [229] при $\Delta T=1^\circ$ получаем $\xi_\nu=2,58$, что близко к типичным значениям ξ_ν для нематических ЖК [118, 252, 253] (рис. 9). При $\Delta T=4^\circ$ соответствующие значения $S'_0=0,45$ и $\tilde{S}_0=0,5$ дают $\xi_\nu=3,7$, т. е. при удалении от T_c конформационная подвижность эфирной цепи быстро уменьшается в соответствии с зависимостью (204) и линейной зависимостью $\Delta Y(\mu)$.

Для нижних гомологов ряда $2I$ эффект конформационной подвижности цепей мал и результаты оптических методов [73, 243] и ИК [229] хорошо согласуются между собой (рис. 8).

При фиксированном S параметры ε_n и α уменьшаются с ростом T , поэтому для высокотемпературных ЖК типа 25 дополнительное снижение α (199) приводит к заметному проявлению ориентационного плавления пепел близких к T_c даже при их относительно малой длине.

Приходя итог обсуждению эффектов локального поля в рефрактометрии отметим, что воледствие неоднородности распределения поляризуемости по молекулярному объему (ароматический остаток и алькические цепи) конформационной подвижности молекулярных фрагментов в оптической анигиротопии мы проявляется влияние эффективного локального поля, усреднен-

ного по всем молекулярным фрагментам. Последнее автоматически учитывается в модели эффективной лоренцевой полости и неяно предполагается в моделях Букса и Нойтебауэра. Хорошее соответствие оптических и независимых экспериментальных данных по \mathbf{S} для однородно-поляризующих молекул ПА и ПФ с короткими концевыми цепями и большой анизотропией $\Delta\chi$ (рис. 5, б), а также для неоднородно-поляризующих эфиров ZI с длинными цепями и малой анизотропией $\Delta\chi$ (рис. 8) указывает на то, что в ЖК нематического типа тензор \hat{f} для разных молекулярных фрагментов отличается незначительно. Это свидетельствует об относительно слабом влиянии корреляционных поправок [18, 147] к среднеполовому поведению \hat{L} , данному формулами (48), (69).

2.5. Эффекты локального поля в абсорбционной спектроскопии жидких кристаллов

Поляризованные спектры ЖК включают полосы поглощения, обусловленные электронными и колебательными возбуждениями молекул. Электронные возбуждения могут охватывать электронную систему всего ароматического остатка, связанного Σ -сопряжением, или его отдельных фрагментов. Колебательный спектр несет информацию о различных нормальных колебаниях молекулы от её трансляционных и ориентационных движений как целого до колебаний молекулярных фрагментов и связей. При корректном учете анизотропии локального поля это позволяет исследовать такие особенности ортогональной упорядоченности молекул как целого [40, 45, 50] и их отдельных фрагментов в различных фазовых состояниях ЖК [160, 163], ориентации мономерных электронных и колебательных переходов [44, 51, 52, 256], взаимосогласованное изменение структурных и молекулярных параметров ЖК [48, 49, 52, 77, 166, 177].

В дополнение к рефрактометрии при сопоставлении данных ЖК и УФ спектроскопии между собой и с результатами независимых измерений можно детально исследовать анизаотропию эффективного тензора \hat{f} (26) для различных молекулярных фрагментов и её дисперсию в широкой спектральной области. Степень соответствия эксперименту модели де ЖЕ-Бордемийка и Молекулярно-статистической теории [7, 143] можно вычислить путем анализа спектральных следствий с проверкой требования З (п. I.I).

2.5.1. Поправки на локальное поле к спектральному положению и интенсивности полос поглощения

Рассмотрим однокомпонентный односвязный ЖК нематического или смешанного типа, состоящий из двухных молекул с двусвязным тензором ориентации \mathbf{S} (18). В электронном или колебательном спектре молекул видели изолированный вырожденный переход с частотой ω

в изолированной молекуле, причем направление дипольного момента перекола \vec{p} в молекуларной системе координат задано полярным углом ϑ между \vec{p} и осью Z и азимутальным углом φ между \vec{p} и осью X . Переизмерение молекуларного спектра за счет статического взаимодействия молекулы с окружением приводит к отличию частоты ω_1 рассматриваемого перехода от ω_0 и зависимости $\omega_1(\Delta)$ от ориентации Δ молекулярной системы координат относительно директора ЖК [84, 257, 258]. Кроме того, к дополнительному смещению полосы в мезофазе может привести индуцированное сопряжением фрагментов [49]. Но поскольку ориентационная узел точности молекул проявляется в диахроматическом расщеплении полос вносят пренебрежимо малый вклад в измеряемый диахроматизм поглощения [258], то при анализе поправок на локальное поле к параметру порядка \mathcal{S} можно пренебречь зависимостью $\omega_1(\Delta)$.

Влияние резонансного диполь-дипольного взаимодействия молекул на спектральные свойства ЖК рассматривалось методом локального поля в работах [40, 84, 259, 260], причем, как и в случае молекулярных кристаллов [10], результаты согласуются с полученным в рамках аксономной теории [83, 261]. В окрестности исследуемого перехода компоненты γ_j ($j = \#$, \perp) усредненного по ориентации тензора молекулярной поляризуемости (16) можно представить в виде

$$\gamma_j(\omega) = \gamma_j^0 + \frac{e^2 f_j/m}{\omega_z^2 - \omega^2 + i\Gamma\omega}, \quad (205)$$

где [84, 250]

$$F_\# = \frac{1}{3} f_\# (1 + 2\omega_z^2 - 2\omega_{\#}^2/3), \quad (206)$$

$F_\perp = \frac{1}{3} f_\perp (1 - S_{\#}^2 - S_{\#}^2/3),$
Параметры S и f даются выражениями (18),

$$S_\# = (3\sin^2\varphi - 1)/2, \quad f_{\#} = (3S_{\#}^2\omega_z^2 \cos^2\varphi)/2, \quad (207)$$

f_\perp — сила осциллятора перехода О-И, которую для электронного перехода можно выразить в виде

$$f_\perp = \frac{2m\omega_z}{\frac{\epsilon_1}{\epsilon_2}\omega^2} / \vec{P}_1^2 / \omega^2 \quad (208)$$

через квадрат $|\vec{P}_1|^2$ перенормированного статическим моментом перехода, а для колебательного перехода — в виде

$$\gamma'_z = \frac{m}{e^2} \left(\frac{\partial \vec{\mu}}{\partial \vec{r}} \cdot \vec{r}_\mu \right)^2 \quad (209)$$

через производную дипольного момента молекулы \vec{r}_μ по соответствующей нормальной координате \vec{q}_z . Отметим, что в ЖК параметры \vec{r}_μ и \vec{q}_z могут отличаться от тех же в изолированной молекуле. Фоновые компоненты γ_j^Φ , имеющие вид (16), слабо зависят от ω в окрестности ω_1 и обусловлены всеми другими молекулярными явлением за исключением рассматриваемого. Подстановка выражений типа (19), (26) для $\gamma_j(\omega)$ и γ_j^Φ в (205) дает

$$\xi_j(\omega) = \xi_j^\Phi + \frac{\omega_\rho^2 F_j(f_j^\Phi)^2}{\omega^2 - \omega^2 + i/\omega}, \quad (210)$$

$$\omega_j^2 = \omega_z^2 - \omega_\rho^2 F_j \xi_j^\Phi, \quad (211)$$

где $\omega_\rho = (4\pi N e^2 / m)^{1/2}$ – плазменная частота. Отсюда видно, что в ЖК перенормировка силы осциллятора рассматриваемого перехода формально сводится к замене дипольного момента перехода Γ на новое эффективное значение этой величины Γf_j^Φ . Представляя комплексный показатель преломления $\hat{n}(\omega)$ в форме $\hat{n}_j(\omega) = n(\omega) - i\varepsilon(\omega)$, где $\varepsilon(\omega)$ – показатель поглощения, получаем из (210) для минимумов γ_j и действительной ξ_j частей $\xi_j(\omega) = \hat{n}_j(\omega)$ выражения

$$\gamma_j = 2 \xi_j(\omega) \mathcal{Z}_j(\omega) = \frac{\omega_\rho^2 \xi_j(f_j^\Phi)^2 / \omega}{(\omega_j^2 - \omega^2)^2 + \Gamma^2 \omega^2}, \quad (212)$$

$$\xi_j = \xi_j^\Phi(\omega) - \mathcal{Z}_j^2(\omega) = \frac{\omega_\rho^2 F_j(f_j^\Phi)^2 (\omega_j^2 - \omega^2)}{(\omega_j^2 - \omega^2)^2 + \Gamma^2 \omega^2} + \xi_j^\Phi \quad (213)$$

Отсюда следует

$$2 \xi_j^2 = [(\gamma_j^2 + R_j^2)^{1/2} + R_j], \quad (214)$$

$$2 \mathcal{Z}_j^2 = [(\gamma_j^2 + R_j^2)^{1/2} - R_j]. \quad (215)$$

Интенсивность света в поглощающей среде уменьшается по закону $I(z) = I_{\text{exp}}(-Kz)$, где K – коэффициент поглощения, связанный с ε соотношением

$$K(\omega) = \frac{2\omega}{c} \mathcal{Z}(\omega). \quad (216)$$

$$\xi_j(\omega) = \frac{\sqrt{2}\omega}{c} \left[(\gamma_j^2 + R_j^2)^{1/2} - R_j \right]^{1/2}. \quad (217)$$

Для упрощения анализа зависимости $R_j(\omega)$ учтем, что для внутримолеку-

лярных переходов обычно $(\omega - \omega_j) \ll \omega_1$ и $\Gamma \ll \omega_1$, и преобразуем выраже-

$$\gamma_j = \frac{A_j}{\omega_j(4x_j^2 + 1)}, \quad R_j = \xi_j^\Phi \cdot \frac{24_j x_j}{\omega_j(4x_j^2 + 1)}, \quad (218)$$

где $x_j = (\omega_j - \omega)/\Gamma$, $A_j = \omega_\rho^2 F_j (f_j^\Phi)^2$. Положение максимума линии поглощения можно найти из уравнения $\dot{\omega}_m(\omega_{jM}) = 0$, которое сводится к следующему

$$\frac{A_j}{\delta \varepsilon_j^\Phi \omega_j} + x - \frac{A_j}{\varepsilon_j^\Phi \omega_j} x^2 - \frac{6 A_j}{\delta \varepsilon_j^\Phi \omega_j} x^4 - 16 x^5 = 0 \quad (218)$$

Положение частоты ω_{j0} , при которой $\gamma_j(\omega_{j0}) = \kappa_j^\Phi$, дается уравнением

$$\frac{A_j}{32 \varepsilon_j^\Phi \omega_j} + \frac{1}{4} x + x^3 = 0, \quad (219)$$

которое имеет один действительный корень $x_{j0} < 0$. Для не слишком сильных полос поглощения величинами по x членами можно пренебречь и оба уравнения дают одинаковый результат

$$\omega_{jm} - \omega_j = \frac{\omega_\rho^2 F_j (f_j^\Phi)^2}{\delta \varepsilon_j^\Phi \omega_j} = \frac{f_j^\Phi}{4 L_j \varepsilon_j^\Phi} (\omega_2 - \omega_1). \quad (220)$$

Таким образом, максимум линии поглощения не совпадает с резонансной частотой ω_j и выполняются неравенства $\omega_j < \omega_{jm} < \omega_2$. При $\varepsilon \Phi = 2$, $f_j^\Phi = (\varepsilon \Phi + 2)/3$ и $L = 1/3$ частота ω_{jm} лежит посередине интервала $\omega_j \div \omega_1$. Поскольку в ЖК обычно $L \approx 2L_H$, то

$$\frac{\omega_{jm} - \omega_H}{\omega_H - \omega_H} > \frac{\omega_{jm} - \omega_L}{\omega_L - \omega_H} \quad (221)$$

и при достаточно большой анизотропии тензора $\hat{\mathcal{Z}}$ возможна смена знака разности $\omega_1 - \omega_{jm}$ с положительного на отрицательный.

Резонансное диполь–дипольное взаимодействие близорукленных молекул между собой приводит к различию в положении максимумов полос

$$\omega_{jm} = \omega_2 - \frac{\omega_\rho^2 F_j^\Phi F_i^\Phi \mathcal{Z}_j}{4 \mathcal{Z}_j \varepsilon_i^\Phi} \left(1 - \frac{f_i^\Phi}{4 L_j \varepsilon_i^\Phi} \right) \quad (222)$$

в компонентах, поляризованных // и \perp директрису, т.е. к резонансному расположению полос. Величина низкочастотных смещений $\Delta \omega_j = \omega_1 - \omega_{jm}$ компонент пропорциональна силе осциллятора перехода F_j (206), зависит от углов ϑ , φ ориентации момента \vec{p} перехода относительно молекулярных осей и степени упорядоченности молекул.

Рассмотрим возможные экспериментальные ситуации. Резонансное молекулярное взаимодействие вызывает дополнительное к статическому ско-

жение центра тяжести дублета на величину $\bar{\Delta\omega} = (\Delta\omega_{\parallel} + \Delta\omega_{\perp})/2$. При $\beta = 0$ резонансное расщепление полосы $\Delta\omega = \Delta\omega_{\parallel} - \Delta\omega_{\perp}$ по максимумам равно

$$\Delta\omega = \frac{\omega_p^2 f_z^2}{\delta\omega_z} \left[L_{\parallel} f_{\parallel}^{\text{pp}} \left(1 + 2S \right) \left(1 - \frac{f_{\parallel}^{\text{pp}}}{4L_{\parallel} \varepsilon_{\parallel}^{\text{pp}}} \right) - L_{\perp} f_{\perp}^{\text{pp}} \left(1 - S \right) \left(1 - \frac{f_{\perp}^{\text{pp}}}{4L_{\perp} \varepsilon_{\perp}^{\text{pp}}} \right) \right] \quad (223)$$

и существенно зависит от степени упорядоченности образца и анизотропии локального поля. Здесь возможны два случая $\Delta\omega \geq 0$. При больших S и малой анизотропии тензоров \hat{L} и \hat{f} реализуется случай $\Delta\omega > 0$. При достаточно низких S и большой анизотропии тензоров \hat{L} и \hat{f} взаимная компенсация между случаем $\Delta\omega < 0$. Вероятной ситуацией является взаимная компенсация слагаемых в правой части (223) и малая величина $\Delta\omega$ даже для интенсивных полос поглощения.

При $\beta = \beta_M = 54^\circ$ и $\varphi = 45^\circ$, когда $S_{\beta} = \delta_{\beta\varphi} = 0$, величина статического расщепления полос $\Delta\omega_{\text{ст}} = 0$ [84, 262], а резонансное расщепление

$$\Delta\omega = \frac{\omega_p^2 f_z^2}{\delta\omega_z} \left[L_{\parallel} f_{\parallel}^{\text{pp}} \left(1 - \frac{f_{\parallel}^{\text{pp}}}{4L_{\parallel} \varepsilon_{\parallel}^{\text{pp}}} \right) - L_{\perp} f_{\perp}^{\text{pp}} \left(1 - \frac{f_{\perp}^{\text{pp}}}{4L_{\perp} \varepsilon_{\perp}^{\text{pp}}} \right) \right] \quad (224)$$

и не отличается только анизотропией локального поля, причем $\Delta\omega < 0$. В этом случае величину расщепления полос можно использовать для оценки параметров локального поля.

Случай $\beta = \pi/2$ является наиболее вероятной ситуацией для наблюдения резонансного расщепления полос. При $\varphi = 0$ и $\delta_{\beta\varphi} = 3/2$ имеем

$$\Delta\omega = \frac{\omega_p^2 f_z^2}{\delta\omega_z} \left[L_{\parallel} f_{\parallel}^{\text{pp}} \left(1 - \frac{f_{\parallel}^{\text{pp}}}{4L_{\parallel} \varepsilon_{\parallel}^{\text{pp}}} \right) - L_{\perp} f_{\perp}^{\text{pp}} \left(1 + \frac{3}{2} + \frac{\varepsilon}{2} \right) \left(1 - \frac{f_{\perp}^{\text{pp}}}{4L_{\perp} \varepsilon_{\perp}^{\text{pp}}} \right) \right] \quad (225)$$

и при любых значениях S $\Delta\omega < 0$. Величина $\delta > 0$ для планкообразных молекул с осью z , лежащей в плоскости молекулы. Максимальная величина $\Delta\omega$ соответствует поларизация перехода в направлении оси x , т.е. перпендикулярно плоскости молекулы. Таким образом, при $0 < \beta < \beta_M$ анизотропия локального поля может индуцировать инверсию знака $\Delta\omega$.

Перейдем к обсуждению поправок на локальное поле к интенсивности полос поглощения. Для относительно слабых полос $\gamma_j \ll \delta_j \approx \varepsilon_j^{\text{pp}}$ из (217) получаем

$$K_j(\omega) = \frac{\omega_j}{c\sqrt{\delta_j}} = \frac{\omega_p^2 f_j^2 / \omega^2 / c}{(\omega_j^2 - \omega^2)^2 + r^2 \omega^2} \cdot \frac{(f_j^{\text{pp}})^2}{k_j^{\text{pp}}}, \quad (226)$$

т.е. форма линии является лоренцевианом, а поправка к интенсивности на локальное поле и рефракцию оптически плотной среды одинакова в пределах всей спектральной области поглощения. Интегральный и экспериментальный

не зависит от перенормировки параметров ω_j и Γ в разных омпонентах спектра. Поскольку $\Gamma \ll \omega_j$, в пределах полосы можно (226) переписать в виде

$$K_j(\omega) = \frac{\pi \omega^2}{2c} \cdot \frac{(f_j^{\text{pp}})^2}{\varepsilon_j^{\text{pp}} f_j \left[\frac{\Gamma}{(\omega_j - \omega)^2 + \Gamma^2/4} \right]}, \quad (227)$$

и для \bar{K}_j получаем

$$\bar{K}_j = \frac{\pi \omega^2}{2c} \cdot \frac{(f_j^{\text{pp}})^2}{\varepsilon_j^{\text{pp}} \bar{K}_j}. \quad (228)$$

Сравнение (226) и (228) показывает одинаковый вид погранок на локальное поле для дихроизма полос, определяемого по отношению коэффициентов α -поглощения в максимуме поляризованных компонент и по отношению интегральных коэффициентов поглощения. Величина \bar{K}_j для реального ИК связана с величиной K_j для соответствующей ему гипотетической модели ориентированного молекулярного газа той же плотности и с теми же эффективными молекулярными параметрами соотношением

$$\bar{K}_j = \frac{(f_j^{\text{pp}})^2}{\varepsilon_j^{\text{pp}}} K_j. \quad (229)$$

Инерсийные полосы поглощения имеют асимметричную форму $K_j(\omega)$ и вид поправки на локальное поле изменяется в пределах полосы поглощения для не слишком сильных полос в максимуме $K_j(\omega)$ с хорошей точностью выполняется соотношение $K_j(\omega_j) \approx K_j$ и в этом случае при $\omega = \omega_j$ выполнение (212) и (216) следует выполнение (229) для $K_j(\omega_j)$. Соотношение из (212) и (216) остается справедливым при $\omega_j \gg \Gamma$ и в случае интенсийных полос поглощения [40]. Таким образом, соотношение (229) справедливо для всех полированных полос молекулярного спектра за исключением наизначастотных перенормированных мод релаксационного типа, для которых условие $\omega_j \gg \Gamma$ нарушается. Последнее относится к дипольным ИК полосам поглощения ИК, соответствующими дrehенным молекулам целого.

2.5.2. Примесное поглощение

Как следует из проведенного выше анализа (пп. I.10-2-4), экспериментальные тензоры локального поля f_j^{pp} для молекул примеси и ИК матрицы довольно сильно отличаются между собой. Однако реальное различие невозможно оценить в рамках существующей молекулярно-статистической теории. Поэтому естественным первым приближением является предположение однинаковости тензоров \hat{f} для матрицы и примеси, а степень различия основных свойств (величины, знака и длины) \hat{f} должна быть устано-вленна путем экспериментального определения параметров \hat{L} и \hat{f} для матрицы и примеси в одной и той же смеси.

Рассмотрим односоставной ЖК с малой концентрацией примеси, и широкая полоса поглощения которой лежит в области прозрачности матрицы.

Соотношение (131) в области примесного поглощения можно переписать в виде

$$\frac{\xi_j(\omega) - 1}{2 + \xi_j[\xi_j(\omega) - 1]} = 4\pi N \left[(\chi - \omega) \chi_{ij}^* + \omega \chi_{ij}^{*\prime} \right] + \frac{\omega^2 \mu^2 F_j}{\omega_0^2 - \omega^2 + i/\omega}, \quad (230)$$

где χ_{ij} — компоненты (Γ) поляризуемости молекул матрицы, χ_{ij}^* — новые компоненты поляризуемости примеси, а компоненты F_j даются формулами (205) и (207). Дополнительное значение ξ_j в полосе примесного поглощения вводится по определению

$$4\pi N \left[(\chi - \omega) \chi_{ij}^* + \omega \chi_{ij}^{*\prime} \right] = \frac{\xi_j^{*\prime} - 1}{2 + \xi_j(\xi_j^{*\prime} - 1)} \quad (231)$$

и, вообще говоря, отличается от ξ_{Mj} для чистой матрицы. Однако при малой концентрации примеси это различие пренебрежимо мало и можно считать $\xi_{Fj} = \xi_{Mj}$. Подстановка (231) в (230) и последующие преобразования дают

$$\xi_j(\omega) = \xi_j^{*\prime} + \frac{-\omega^2 \rho^2 \tilde{f}_j (\tilde{f}_j^{*\prime})^2}{\omega_j^2 - \omega^2 + i/\omega}, \quad (232)$$

$$\omega_j^2 = \omega_0^2 - \omega \omega_0^2 \tilde{f}_j \tilde{f}_j^{*\prime}. \quad (233)$$

Сравнение с (210) и (211) показывает, что изменение ω_j за счет резонансного взаимодействия пропорционально концентрации резонирующих молекул, а отличие ω_j от частоты перехода ω_0 в изолированной примесной молекуле определяется в основном её статическим взаимодействием с матрицей. Для не слишком сильной полосы примесного поглощения можно записать в виде

$$C \frac{\kappa''}{\rho f_i^2} \tilde{\vartheta}_{ii} = F_i = \frac{\rho}{3} \left(1 - 2SS_{\alpha} - \frac{2}{3} \delta \delta_{\beta\gamma} \right), \quad (234)$$

$$C \frac{\kappa''}{\rho f_i^2} \tilde{\vartheta}_{ii} = F_i = \frac{\rho}{3},$$

где C — коэффициент поглощения, κ'' — коэффициент поглощения, ρ и f_i — плотность мезофазы и изотропной жидкости. Сила осциллятора \tilde{f} перехода в мезофазе может отличаться от \tilde{f}_{ij} в изотропной жидкости из-за изменения конформации молекул и вызванного этим изменения \tilde{f} — электронного сопряжения фрагментов [42, 49, 52, 185], комплексообразования, возникновения водородных связей и других специфических межмолекулярных взаимодействий [3]. В отсутствие этих причин, или для внутримолекулярных переходов, не чувствительных к ним, различием \tilde{f} и \tilde{f}_{ij} можно пренебречь. Тогда экспериментально определяются диахромные отношения

$$\kappa_1 = \tilde{\vartheta}_{ii}/\tilde{\vartheta}_{\perp}, \quad \kappa_2 = \tilde{\vartheta}_{\perp}/\tilde{\vartheta}_i, \quad \kappa_3 = \tilde{\vartheta}_{ii}/\tilde{\vartheta}_i, \quad (235)$$

которые можно использовать для расчета параметра

$$\sum = SS_{\alpha} - \frac{1}{3} \delta \delta_{\beta\gamma}, \quad (236)$$

преломления матрицы является различие частот ω_{1M} и ω_{1M} для сферически-симметричной примесной молекулы с $F_1 = F_{1M}$. Проведенный выше анализ зависимости $K_j(\omega)$ полностью применим к примесному поглощению. В частности, при $\chi \ll 1$ зависимость (226) должна выполняться и для сильных полос примесного поглощения. Это важно при исследовании влияния статистических межмолекулярных взаимодействий на положение и форму полос примесного поглощения [258, 262].

2.5.3. Поправки на локальное поле к диахромизму полос поглощения и параметру порядка

идающего смысл параметра ориентационного порядка оси, параллельной дипольному моменту перехода, относительно директора ЖК. Из (234) следует

$$\sum_1 = \frac{\mu_1 g_1 - 1}{\mu_2 g_2 + 2}, \quad \sum_2 = 1 - \mu_2 g_2, \quad \sum_3 = (\mu_3 g_3 - 1)/2, \quad (237)$$

где поправочные факторы \tilde{g}_k имеют вид

$$g_1 = \frac{\mu_1}{\mu_2} \left(f_1/f_r \right)^2, \quad g_2 = \frac{\rho_i \mu_2}{\rho \mu_i} \left(f_2/f_r \right)^2, \quad g_3 = \frac{\rho_i \mu_3}{\rho \mu_i} \left(f_3/f_r \right)^2. \quad (238)$$

Формула (237) для \sum_1 не зависит от возможного изменения f при переходе И-Н и широко используется при определении S и \tilde{S} методами ИК и УФ спектроскопии.

Существенно то, что знак и величина поправки на анизотропию локального поля к параметру \sum_k зависят от знака Δf и типа используемого в расчете диахроичного отношения \sum_k' , что впервые было показано в работе [77]. Разложим правые части (237) по малому параметру $\Delta f/\tilde{f}$ и, ограничиваясь линейным приближением, получаем

$$\begin{aligned} \sum_1 &= \sum_{1n} - \frac{2}{3} (1 - \sum_{2n}) (1 + 2\sum_{2n}) \Delta f / \tilde{f}, \\ \sum_2 &= \sum_{2n} - \frac{2}{3} (1 - \sum_{2n}) \Delta f / \tilde{f}, \\ \sum_3 &= \sum_{3n} - \frac{2}{3} (1 + 2\sum_{3n}) \Delta f / \tilde{f}, \end{aligned} \quad (239)$$

где параметры \sum_k соответствуют изотропному приближению $\Delta f = 0$. Для всех \sum_k знак поправки к \sum_k одинаков и положителен при $\Delta f < 0$.

Опыт показывает, что эта ситуация типична для ЖК в ИК и видимой области спектра, т.к. изотропное приближение обычно приводит к заниженным значениям S , полученным из спектральных данных, в сравнении с независимыми или радиоспектроскопическими измерениями [2, 40, 41–45, 108, 160], причем расхождение увеличивается при переходе от УФ к ИК полосам поглощения [40]. Последнее указывает на уменьшение $|\Delta f|$ с уменьшением λ и соответствует ожидающей дисперсии Δf (п. I.4). Модели Иогебаугера соответствуют $\Delta f > 0$ и еще больше различие \sum_k и \sum_{ki} , чем в модели Вукса, причем с уменьшением λ это различие должно увеличиваться. Оба эти качественных следствия противоречат эксперименту и однозначно свидетельствуют о нетривиальности данной модели к 1.5–1.6–1.7–1.8–1.9–1.10–1.11–1.12–1.13–1.14–1.15–1.16–1.17–1.18–1.19–1.20–1.21–1.22–1.23–1.24–1.25–1.26–1.27–1.28–1.29–1.30–1.31–1.32–1.33–1.34–1.35–1.36–1.37–1.38–1.39–1.40–1.41–1.42–1.43–1.44–1.45–1.46–1.47–1.48–1.49–1.50–1.51–1.52–1.53–1.54–1.55–1.56–1.57–1.58–1.59–1.60–1.61–1.62–1.63–1.64–1.65–1.66–1.67–1.68–1.69–1.70–1.71–1.72–1.73–1.74–1.75–1.76–1.77–1.78–1.79–1.80–1.81–1.82–1.83–1.84–1.85–1.86–1.87–1.88–1.89–1.90–1.91–1.92–1.93–1.94–1.95–1.96–1.97–1.98–1.99–1.100–1.101–1.102–1.103–1.104–1.105–1.106–1.107–1.108–1.109–1.110–1.111–1.112–1.113–1.114–1.115–1.116–1.117–1.118–1.119–1.120–1.121–1.122–1.123–1.124–1.125–1.126–1.127–1.128–1.129–1.130–1.131–1.132–1.133–1.134–1.135–1.136–1.137–1.138–1.139–1.140–1.141–1.142–1.143–1.144–1.145–1.146–1.147–1.148–1.149–1.150–1.151–1.152–1.153–1.154–1.155–1.156–1.157–1.158–1.159–1.160–1.161–1.162–1.163–1.164–1.165–1.166–1.167–1.168–1.169–1.170–1.171–1.172–1.173–1.174–1.175–1.176–1.177–1.178–1.179–1.180–1.181–1.182–1.183–1.184–1.185–1.186–1.187–1.188–1.189–1.190–1.191–1.192–1.193–1.194–1.195–1.196–1.197–1.198–1.199–1.199–1.200–1.201–1.202–1.203–1.204–1.205–1.206–1.207–1.208–1.209–1.2010–1.2011–1.2012–1.2013–1.2014–1.2015–1.2016–1.2017–1.2018–1.2019–1.2020–1.2021–1.2022–1.2023–1.2024–1.2025–1.2026–1.2027–1.2028–1.2029–1.2030–1.2031–1.2032–1.2033–1.2034–1.2035–1.2036–1.2037–1.2038–1.2039–1.2040–1.2041–1.2042–1.2043–1.2044–1.2045–1.2046–1.2047–1.2048–1.2049–1.2050–1.2051–1.2052–1.2053–1.2054–1.2055–1.2056–1.2057–1.2058–1.2059–1.2060–1.2061–1.2062–1.2063–1.2064–1.2065–1.2066–1.2067–1.2068–1.2069–1.2070–1.2071–1.2072–1.2073–1.2074–1.2075–1.2076–1.2077–1.2078–1.2079–1.2080–1.2081–1.2082–1.2083–1.2084–1.2085–1.2086–1.2087–1.2088–1.2089–1.2090–1.2091–1.2092–1.2093–1.2094–1.2095–1.2096–1.2097–1.2098–1.2099–1.2099–1.2100–1.2101–1.2102–1.2103–1.2104–1.2105–1.2106–1.2107–1.2108–1.2109–1.21010–1.21011–1.21012–1.21013–1.21014–1.21015–1.21016–1.21017–1.21018–1.21019–1.21020–1.21021–1.21022–1.21023–1.21024–1.21025–1.21026–1.21027–1.21028–1.21029–1.21030–1.21031–1.21032–1.21033–1.21034–1.21035–1.21036–1.21037–1.21038–1.21039–1.21040–1.21041–1.21042–1.21043–1.21044–1.21045–1.21046–1.21047–1.21048–1.21049–1.21050–1.21051–1.21052–1.21053–1.21054–1.21055–1.21056–1.21057–1.21058–1.21059–1.21060–1.21061–1.21062–1.21063–1.21064–1.21065–1.21066–1.21067–1.21068–1.21069–1.21070–1.21071–1.21072–1.21073–1.21074–1.21075–1.21076–1.21077–1.21078–1.21079–1.21080–1.21081–1.21082–1.21083–1.21084–1.21085–1.21086–1.21087–1.21088–1.21089–1.21090–1.21091–1.21092–1.21093–1.21094–1.21095–1.21096–1.21097–1.21098–1.21099–1.21099–1.21100–1.21101–1.21102–1.21103–1.21104–1.21105–1.21106–1.21107–1.21108–1.21109–1.21110–1.21111–1.21112–1.21113–1.21114–1.21115–1.21116–1.21117–1.21118–1.21119–1.211110–1.211111–1.211112–1.211113–1.211114–1.211115–1.211116–1.211117–1.211118–1.211119–1.2111110–1.2111111–1.2111112–1.2111113–1.2111114–1.2111115–1.2111116–1.2111117–1.2111118–1.2111119–1.21111110–1.21111111–1.21111112–1.21111113–1.21111114–1.21111115–1.21111116–1.21111117–1.21111118–1.21111119–1.211111110–1.211111111–1.211111112–1.211111113–1.211111114–1.211111115–1.211111116–1.211111117–1.211111118–1.211111119–1.2111111110–1.2111111111–1.2111111112–1.2111111113–1.2111111114–1.2111111115–1.2111111116–1.2111111117–1.2111111118–1.2111111119–1.21111111110–1.21111111111–1.21111111112–1.21111111113–1.21111111114–1.21111111115–1.21111111116–1.21111111117–1.21111111118–1.21111111119–1.211111111110–1.211111111111–1.211111111112–1.211111111113–1.211111111114–1.211111111115–1.211111111116–1.211111111117–1.211111111118–1.211111111119–1.2111111111110–1.2111111111111–1.2111111111112–1.2111111111113–1.2111111111114–1.2111111111115–1.2111111111116–1.2111111111117–1.2111111111118–1.2111111111119–1.21111111111110–1.21111111111111–1.21111111111112–1.21111111111113–1.21111111111114–1.21111111111115–1.21111111111116–1.21111111111117–1.21111111111118–1.21111111111119–1.211111111111110–1.211111111111111–1.211111111111112–1.211111111111113–1.211111111111114–1.211111111111115–1.211111111111116–1.211111111111117–1.211111111111118–1.211111111111119–1.2111111111111110–1.2111111111111111–1.2111111111111112–1.2111111111111113–1.2111111111111114–1.2111111111111115–1.2111111111111116–1.2111111111111117–1.2111111111111118–1.2111111111111119–1.21111111111111110–1.21111111111111111–1.21111111111111112–1.21111111111111113–1.21111111111111114–1.21111111111111115–1.21111111111111116–1.21111111111111117–1.21111111111111118–1.21111111111111119–1.211111111111111110–1.211111111111111111–1.211111111111111112–1.211111111111111113–1.211111111111111114–1.211111111111111115–1.211111111111111116–1.211111111111111117–1.211111111111111118–1.211111111111111119–1.2111111111111111110–1.2111111111111111111–1.2111111111111111112–1.2111111111111111113–1.2111111111111111114–1.2111111111111111115–1.2111111111111111116–1.2111111111111111117–1.2111111111111111118–1.2111111111111111119–1.21111111111111111110–1.21111111111111111111–1.21111111111111111112–1.21111111111111111113–1.21111111111111111114–1.21111111111111111115–1.21111111111111111116–1.21111111111111111117–1.21111111111111111118–1.21111111111111111119–1.211111111111111111110–1.211111111111111111111–1.211111111111111111112–1.211111111111111111113–1.211111111111111111114–1.211111111111111111115–1.211111111111111111116–1.211111111111111111117–1.211111111111111111118–1.211111111111111111119–1.2111111111111111111110–1.2111111111111111111111–1.2111111111111111111112–1.2111111111111111111113–1.2111111111111111111114–1.2111111111111111111115–1.2111111111111111111116–1.2111111111111111111117–1.2111111111111111111118–1.2111111111111111111119–1.21111111111111111111110–1.21111111111111111111111–1.21111111111111111111112–1.21111111111111111111113–1.21111111111111111111114–1.21111111111111111111115–1.21111111111111111111116–1.21111111111111111111117–1.21111111111111111111118–1.21111111111111111111119–1.211111111111111111111110–1.211111111111111111111111–1.211111111111111111111112–1.211111111111111111111113–1.211111111111111111111114–1.211111111111111111111115–1.211111111111111111111116–1.211111111111111111111117–1.211111111111111111111118–1.211111111111111111111119–1.2111111111111111111111110–1.2111111111111111111111111–1.2111111111111111111111112–1.2111111111111111111111113–1.2111111111111111111111114–1.2111111111111111111111115–1.2111111111111111111111116–1.2111111111111111111111117–1.2111111111111111111111118–1.2111111111111111111111119–1.21111111111111111111111110–1.21111111111111111111111111–1.21111111111111111111111112–1.21111111111111111111111113–1.21111111111111111111111114–1.21111111111111111111111115–1.21111111111111111111111116–1.21111111111111111111111117–1.21111111111111111111111118–1.21111111111111111111111119–1.211111111111111111111111110–1.211111111111111111111111111–1.211111111111111111111111112–1.211111111111111111111111113–1.211111111111111111111111114–1.211111111111111111111111115–1.211111111111111111111111116–1.211111111111111111111111117–1.211111111111111111111111118–1.211111111111111111111111119–1.2111111111111111111111111110–1.2111111111111111111111111111–1.2111111111111111111111111112–1.2111111111111111111111111113–1.2111111111111111111111111114–1.2111111111111111111111111115–1.2111111111111111111111111116–1.2111111111111111111111111117–1.2111111111111111111111111118–1.2111111111111111111111111119–1.21111111111111111111111111110–1.21111111111111111111111111111–1.21111111111111111111111111112–1.21111111111111111111111111113–1.21111111111111111111111111114–1.21111111111111111111111111115–1.21111111111111111111111111116–1.21111111111111111111111111117–1.21111111111111111111111111118–1.21111111111111111111111111119–1.211111111111111111111111111110–1.211111111111111111111111111111–1.211111111111111111111111111112–1.211111111111111111111111111113–1.211111111111111111111111111114–1.211111111111111111111111111115–1.211111111111111111111111111116–1.211111111111111111111111111117–1.211111111111111111111111111118–1.211111111111111111111111111119–1.2111111111111111111111111111110–1.2111111111111111111111111111111–1.2111111111111111111111111111112–1.2111111111111111111111111111113–1.2111111111111111111111111111114–1.2111111111111111111111111111115–1.2111111111111111111111111111116–1.2111111111111111111111111111117–1.2111111111111111111111111111118–1.2111111111111111111111111111119–1.21111111111111111111111111111110–1.21111111111111111111111111111111–1.21111111111111111111111111111112–1.21111111111111111111111111111113–1.21111111111111111111111111111114–1.21111111111111111111111111111115–1.21111111111111111111111111111116–1.21111111111111111111111111111117–1.21111111111111111111111111111118–1.21111111111111111111111111111119–1.211111111111111111111111111111110–1.211111111111111111111111111111111–1.211111111111111111111111111111112–1.211111111111111111111111111111113–1.211111111111111111111111111111114–1.211111111111111111111111111111115–1.211111111111111111111111111111116–1.211111111111111111111111111111117–1.211111111111111111111111111111118–1.211111111111111111111111111111119–1.2111111111111111111111111111111110–1.2111111111111111111111111111111111–1.2111111111111111111111111111111112–1.2111111111111111111111111111111113–1.2111111111111111111111111111111114–1.2111111111111111111111111111111115–1.2111111111111111111111111111111116–1.2111111111111111111111111111111117–1.2111111111111111111111111111111118–1.2111111111111111111111111111111119–1.21111111111111111111111111111111110–1.21111111111111111111111111111111111–1.21111111111111111111111111111111112–1.21111111111111111111111111111111113–1.21111111111111111111111111111111114–1.21111111111111111111111111111111115–1.21111111111111111111111111111111116–1.21111111111111111111111111111111117–1.21111111111111111111111111111111118–1.21111111111111111111111111111111119–1.211111111111111111111111111111111110–1.211111111111111111111111111111111111–1.21111111111111

4). Возможность использования электронных и колебательных переходов в различных спектральных областях для исследования дисперсии тензора \hat{f} .

5). Возможность определения параметров \hat{L} и \hat{f} для собственных молекул ИК и молекул примеси.

6). Возможность исследования зависимости параметров \hat{L} , \hat{f} от температуры и фазового состояния односоставного ИК, в частности, при переходе $N \rightarrow S_A$.

Единственным отмеченным выше ограничением является независимость силы осциллятора исследуемого перехода от фазового состояния ИК. В колебательном спектре молекул всегда присутствуют полосы поглощения, являющиеся превращение этому условию. Поэтому использование ИК спектроскопии является предпочтительным в экспериментальном исследовании особенностей локального поля в ИК. И тому же при $\Delta f < 0$ поправки к \sum максимальны в ИК области, что повышает точность определения параметров \hat{L} и \hat{f} .

2.5.4. Спектральные аспекты модели де Ж-Бордевика

В рамках данной модели будем рассматривать ИК, состоящий из однократных сфероидальных молекул с компонентами приведенной поляризуемости

$$\gamma_q^* = \frac{\gamma_q}{1 - 4\pi N \epsilon_q \gamma_q} \equiv K_q \gamma_q. \quad (\varphi = \rho, t) \quad (242)$$

В окрестности изолированного невырожденного внутримолекулярного перехода 0-1 представим γ_q в виде

$$\gamma_q(\omega) = \gamma_q^0 + \frac{e^2 F_q / m}{\omega_x^2 - \omega^2 + i/\omega}, \quad (241)$$

$$F_x = \frac{1}{3} \gamma_x^0 (1 + 2S_\beta), \quad F_z = \frac{1}{3} \gamma_z^0 (1 - S_\beta).$$

При усреднении по молекулярным ориентациям компоненты (242) переходит в компоненты $\bar{\gamma}_j$ (205) с $F_{x,z}$ из (206). Подстановка γ_q в (242) дает

$$\gamma_q^*(\omega) = (\gamma_q^0)^* + \frac{\omega_p^2 F_q (K_q^0)^2 / 4\pi N}{\omega_q^2 - \omega^2 + i/\omega}, \quad (243)$$

$$\omega_q^2 = \omega_x^2 - \omega_p^2 F_q L_q K_q^0, \quad (244)$$

где $(\gamma_q^0) = \gamma_q^0 K_q^0 = \gamma_q^0 (1 - 4\pi N \gamma_q^0 L_q)^{-1}$. Формулы (211) и (244) внешне схожи между собой, однако ω_q^2 не зависит от фазового состояния ИК. Постановка компонент γ_q^0 (243) в (100) дает

$$\varepsilon_{\parallel}(\omega) = \varepsilon_{\parallel}^{po} + \frac{\omega_p^2}{3} \left[\frac{F_x (K_x^0)^2 (1+2S)}{\omega_x^2 - \omega^2 + i/\omega} + \frac{2 F_z (K_z^0)^2 (1-S)}{\omega_x^2 - \omega^2 + i/\omega} \right], \quad (245)$$

$$\varepsilon_{\perp}(\omega) = \varepsilon_{\perp}^{po} + \frac{\omega_p^2}{3} \left[\frac{F_x (K_x^0)^2 (1-S)}{\omega_x^2 - \omega^2 + i/\omega} + \frac{F_z (K_z^0)^2 (2+S)}{\omega_x^2 - \omega^2 + i/\omega} \right]. \quad (246)$$

Для изотропной фазы, пренебрегая изменением ω_p , получаем

$$\varepsilon_i(\omega) = \varepsilon_i^{po} + \frac{\omega_p^2}{3} \left[\frac{F_x (K_x^0)^2}{\omega_x^2 - \omega^2 + i/\omega} + \frac{2 F_z (K_z^0)^2}{\omega_x^2 - \omega^2 + i/\omega} \right]. \quad (246)$$

Пользуясь изложенной выше схемой рассмотрения, можно найти коэффициенты поглощения $K_j(\omega)$ в мезофазе и изотропной жидкости, причем максимальные полосы поглощения не совпадают с положением резонансных частот ω_p .

Рассмотрим некоторые частные случаи. При $S=0$ и $F_z=0$ все компоненты $\varepsilon_{\parallel,\perp}$, i резонируют на один частоте ω_p , однако максимумы поглощений находятся на частотах

$$\omega_{ij} = \omega_1 - \frac{\omega_p^2 F_x L_x K_x^0}{2\omega_x} \left(1 - \frac{K_x^0 \varepsilon_j^{po}}{4\omega_x \varepsilon_j^0} \right), \quad (j = \parallel, \perp, i) \quad (247)$$

где $\varepsilon_{\parallel} = \frac{1}{3}(z+2S)$, $\varepsilon_{\perp} = \frac{1}{3}(1-S)$, $\varepsilon_i = \frac{1}{3}$.

Температурная зависимость ω_{ij} обусловлена изменением параметров ε_j^0 и ε_i^0 . Различие в значениях ε_{\parallel} приводит к соотношению $\omega_{\parallel} > \omega_{\perp}$. В рамках модели эффективного локального поля это соответствует большему единичному тензору \hat{L} и \hat{f} и отрицательным значениям $\Delta\omega$ (223), что согласуется с результатами проведенного выше анализа Таблицы 5.

Как следует из (245) и (246), интегральные коэффициенты поглощения K_j (или оптические плотности) в поляризованных компонентах спектра связаны с теми же в модели сориентированного газа соотношениями

$$\bar{K}_j = \frac{(K_j^0)^2}{\kappa_j} \bar{K}_{ji}. \quad (249)$$

В результате поправки фактора \bar{K} (238), имеют вид

$$\bar{g}_z = \frac{q''}{\kappa_z}, \quad q_x = \frac{\rho_i \kappa_i}{\rho n_i}, \quad g_3 = \frac{\rho_i \kappa''}{\rho n_i} \quad (250)$$

и соответствует приближению $f_x = f_z = f_i$. В рамках модели эффективного локального поля. Отметим, что в изотропном приближении $f \neq f_i$. Поправки (250) приводят к неизменному различию параметров \sum_k , выраженных из диэлектрических отношений ε_k (23b) и заниженным значениям \sum_i в сравнении с данными независимых измерений. С другой стороны, здесь обнаруживается внутреннее противоречие модели, т.к. баттенне в рамках её значений $\Delta\delta$ (Таблица 5) и соотношение частот $\omega_{\parallel,\perp}$ соответствуют большие анизотропии эффективного тензора \hat{f} .

При $0 < \beta < \xi/2$ имеется две резонансные частоты ω_{\pm} и по д. з линии поглощения в каждой компоненте поляризованного спектра \mathbb{M}_k и в спектре изотропной жидкости. Причем, как видно из (245), соотношение $K_j(\omega_j)$ и $K_j(\omega_{\pm})$ зависит от $j = \#_j, \perp, \parallel$ и угла β . Дублетное расщепление полосы поглощения в каждой компоненте j противоречит исходному предположению о невырожденности рассматриваемого внутримолекулярного перехода, а также эксперименту, поско. жу для таких переходов конденсация газаанизотропных молекул в изотропную жидкость приводит лишь к смещению и неоднородному уширению полос поглощения.

Наконец, при $\beta = \xi/2$ и $F_2 = 0$ все компоненты $\varepsilon_{\#j}, \varepsilon_{\perp}, \varepsilon_{\parallel}$ резонируют на одной частоте ω_z , а максимумы поляризованных компонент полосы поглощения находятся на частотах

$$\omega_{zj} = \omega_z - \frac{\omega_p^2 f_{\#j} L_j K_j^p}{\beta \omega_z} \left(1 - \frac{K_j^p C_{\#j}}{\omega_p^2 \varepsilon_{\#j}^p} \right), \quad (251)$$

где

$$C_{\#j} = \frac{2}{3}(1-S), \quad C_{\perp j} = \frac{1}{3}(2+S), \quad C_{\parallel j} = \frac{1}{3}. \quad (252)$$

Теперь $\omega_z > \omega_{\#j}$, что противоположно следствию формулы (225) в рамках модели эффективного локального поля. В формуле (249) теперь вместо $(K_j^p)^2$ стоит $(K_j^p)^2/2$, а выражения для \mathcal{F}_k (250) остаются неизменными, что приводит к неизменным выводам.

Таким образом, анализ спектральных аспектов различных моделей локального поля является удобным методом выяснения степени адекватности последних. Важно отметить, что корректное получение поправок на локальную поле и положение и интенсивности полос поглощения и проверка требований Г-З (п. I.1.1) возможны лишь при наличии явной зависимости тензора f_j от $\hat{\varepsilon}$ или $\hat{\varepsilon}^p$, либо зависимости $\hat{\varepsilon}(\hat{\beta})$. В этом отношении поучителен пример молекулярно-статистической теории диэлектрической проницаемости МК [17, 143].

2.5.5. Спектральные аспекты молекулярно-статистической теории диэлектрической проницаемости жидких кристаллов

В рамках теории [17, 143] связь компонент $\varepsilon_j(\omega)$ частотно-зависимого тензора диэлектрической проницаемости односоставных ЖК и компонент $\hat{\varepsilon}_j(\omega)$ поляризуемости дается формулами (106) и (107). Как мы знаем, будем рассматривать внутримолекулярный изолированный невырожденный переход 0-1, липольный момент которого ориентирован под углом β относительно продольной оси односоставной молекулы.

Подстановка компонент $\hat{\varepsilon}_j(\omega)$ в формулу (205) и компонент $\hat{\varepsilon}_q(\omega)$ в формулу (242₁) в формулы (106) и (107) дает

$$\varepsilon_j(\omega) = \varepsilon_j^p + \frac{\omega_p^2 \varepsilon_j^p [\mathcal{F}_j(\varepsilon_j^p + 2) - \beta(\varepsilon_j^p - 1)] / 3}{\omega_j^2 - \omega^2 + i\gamma\omega}, \quad (253)$$

$$\omega_j^2 = \omega_z^2 - \omega_p^2 f_j^p (\mathcal{F}_j - P_j) / 3, \quad (254)$$

где ε_j^p даются формулами (106) с компонентами $\hat{\varepsilon}_j^p$ и $\hat{\varepsilon}_q^p$, а \mathcal{F}_j^p связаны с компонентами $\hat{\varepsilon}_q^p$ формулой (107). Тензор P_j имеет форму (26), в которой компоненты P_j вида (109) зависят от β_q через параметр α_q . Компоненты P_j даются выражениями

$$P_1 = 2W [F_1(1+2S) - F_2(1-S)], \quad P_2 = W [2F_2(1-S) - F_1(2+S)], \quad (255)$$

Компоненты \mathcal{F}_j и \mathcal{F}_q даются соответственно формулами (206) и (242₁). Соотношения (253), (254) существенно отличаются от (210) и (211), хотя исходные выражения (106), (107) формально могут быть сведены к виду (19) с эффективными параметрами L_j (109). Это свидетельствует о невозможности сравнения эффективных величин L_j , полученных из экспериментальных спектральных данных в рамках модели эффективного локального поля (210) [38-43], с эффективными величинами L_j^p (109), фигурирующими в молекулярно-статистической теории [17, 18, 143]. При $S \neq 1$ соотношения (253), (254) совпадают с (210), (211) либо при $W=0$ и $L_j = L_j^p = 1/3$, когда $f_j^p = (\varepsilon_j^p - 2)/3$, либо при $S=1$, что согласуется с отмеченной выше (п. I.9)

эквивалентностью выражений (19) и (106). В этом пределе.

Для не слишком сильной полосы поглощения максимумы её поляризованных компонент расположены на частотах

$$\omega_{jn} = \omega_z - \frac{\omega_p^2 f_j^p (\mathcal{F}_j - P_j)}{\beta \omega_z} \left\{ 1 - \frac{\mathcal{F}_j(\varepsilon_j^p + 2) - \beta(\varepsilon_j^p - 1)}{i\varepsilon_j^p (\mathcal{F}_j - S)} \right\}. \quad (256)$$

При типичных значениях $m=4$, $S=0,5$ и $\beta=0$ получаем $P_1/F_1=0,4$, $P_2/F_2=0,5$ и в зависимости от величины ε_j^p могут наблюдаться различные случаи $\omega_{jn} \geq \omega_z$, так как в модели эффективного локального поля (223) для интегральных интенсивностей полос поглощения в поляризованных компонентах спектра вместо (234) теперь имеют

$$\text{const. } \mathcal{D}_j = \rho \frac{f_j^p}{\varepsilon_j^p} [\mathcal{F}_j(\varepsilon_j^p + 2) - P_j(\varepsilon_j^p - 1)], \quad (257)$$

откуда можно получить формулы для N_{jk} , например,

$$N_2 = \frac{f_2^p}{f_1^p} \frac{\varepsilon_2^p}{\varepsilon_1^p} \mathcal{F}_2(\varepsilon_2^p + 2) - P_2(\varepsilon_2^p - 1). \quad (258)$$

Поскольку компоненты f_j^p линейно зависят от S через параметры L_j^p (109) то уравнения типа (255) для N_{jk} вытекают кубический уравнения для S .

тельно \hat{S} и содержит три неизвестных параметра: W , α_Φ и β . Поэтому использование двух независимых линейных отношений, скажем, N_1 и N_2 , и условия $\hat{S}_T = \hat{S}_2$ даже при известном β оказывается недостаточным для определения параметров W и α_Φ из экспериментальных данных. С другой стороны, в уравнении (258) при известных W , β и n_j^Φ остается неизвестным молекулярный параметр α_Φ , что вносит неопределенность в значения \hat{S} , получаемые из структурных данных в рамках обсуждаемой модели.

Проведенный в двух последних разделах анализ показывает отсутствие прямой связи между соотношением (19) в области прозрачности ИК и соответствием (229) в области внутримолекулярного поглощения. Например, в рамках модели де Ж-Борденаика при $\beta = 0$ выполняется соотношение (249), аналогичное (229), хотя выражение для $\cdot\epsilon_j$ (102) формально не сводится к (19). И наоборот, в рамках молекулярно-статистического подхода [17, 143] выражения для $\cdot\epsilon_j$ (106) формально сводятся к (19), но соотношение (229) не выполняется. Поэтому формальное использование (19) без конкретизации зависимости $\hat{f}(\hat{S}, \hat{\gamma})$ не позволяет получить явный вид поправок на локальное поле к диэлектрику и параметру порядка.

Таким образом, среди рассмотренных моделей только приближение эффективного локального поля позволяет использовать одну и ту же форму тензора \hat{f} (26) с фиксированным частотно-независимым тензором \hat{L} для интерпретации экспериментов по рефрактометрии в области прозрачности ИК и по абсорбционной спектроскопии в области внутримолекулярных резонансов.

2.5.6. Сравнение с экспериментом

В качестве иллюстрации приведенных выше заключений рассмотрим применение модели эффективной лоренцевой полости (п.1.5) к учету анизотропии локального поля при определении параметра порядка S из диэлектрика полос ИК поглощения для гомологов $n_{\text{СВ}}$ ряда 2 [77, 108]. В эксперименте на образцах с однородной гомеотропной ориентацией молекул измерялся дихроизм N_2 (235) изолированной интенсивной полосы ИК поглощения, относящейся к характеристическому валентному колебанию связей $C \equiv N$, ориентированной вдоль длинной оси ароматического молекулярного остова. Для данного колебания параметр $\Sigma = S_0$ характеризует ориентационную упорядоченность молекулярных оставов. При полуширине $\Gamma = 10 \text{ см}^{-1}$ исследуемая полоса ИК поглощения с максимумом $\nu = 2224 \text{ см}^{-1}$ отстоит от ближайших полос ИК спектра ИСВ на $300-500 \text{ см}^{-1}$. Поэтому фоновые значения n_Φ в области данной полосы обусловлены в основном электронными резонансами и находятся в экспериментальной формуле [108]

$$n_j^2 = 1 + \lambda^2 A_j / (\lambda^2 - \varepsilon_j), \quad (259)$$

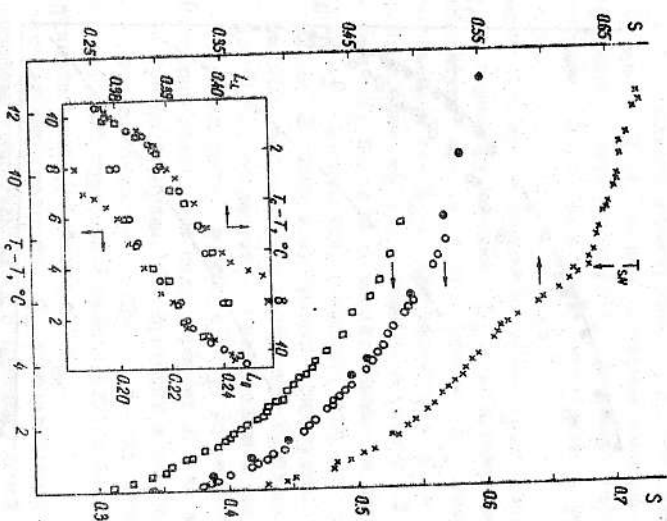


Рис. 14. Температурные зависимости параметра ориентационного подвздошка молекулярных оставов S_0 для ИК 5СВ (\circ , \bullet), 6СВ (\square) и 8СВ (Δ), полученные из линий ИК диэлектрика с учетом анизотропии локального поля [108] и методом ИКР (\otimes) [Г18, 27]. На вставке – температурные зависимости компонент тензора Лоренц-тена T_{SA} – температура фазового перехода $N-S_A$ в 8СВ.

Хорошо сплюсывающей эксперимент по всей видимой и ближней УФ областях спектра [41, 44, 266-268]. Притем экспериментальные з ИК области значений n_j^2 хорошо согласуются с измеренными клиновым методом [263, 269]. Температурные зависимости компонент T_{SA} для $n_{\text{СВ}}$, найденные по (48) из линий Тарбиса [77, 195, 227], приведены на рисунке 10. Температуры, полученные из эксперимента [108], и из расчета по формуле (26), (237) и (238), представлены на рисунках Г10 и Г11.

Для 5 и 7СВ значения S_0 во всем интервале межфазных состояний согласуются с данными независимых методов ИКР и магнитных измерений, а также с полупериодическими значениями S_0 в работах [44, 166] из ИК диэлектрика той же полосы при планарной конформации в работах [44, 166] из ИК диэлектрика той же полосы при планарной конформации в работах [44, 166].

ку для гомологов ИК СВ с большой анизотропией $\Delta \gamma_0$ относительный вклад цепей в $\Delta \gamma_m$ и $\Delta \gamma$ мал (п. 2.4), то относительные изменения $\Delta \gamma$ и ΔS_0 при переходе $N - S$ должны быть близки [163]. Из данных работ [95] и [27] соответственно получаем $\Delta S_0 \approx 0,015$ и $0,006$, что близко к результатам спектрального метода.

Из рис. II видно, что при гомооптической ориентации молекул поправка на анизотропию Δf к параметру порядка S_1 мала и приращение ΔS слабо зависит от температуры, т.к. в (239) с ростом S_{2m} увеличение $\Delta f \sim S$ компенсируется уменьшением $(1 - S_{2m})$. Для параметров S_1 и S_3 приращение ΔS за счет анизотропии Δf увеличивается с ростом S . Поэтому использование диахромизма N_2 полос поглощения, лежащих в видимой и УФ областях спектра, где Δf уменьшается, позволяет получать достаточно точные абсолютные значения S даже в изотропном приближении.

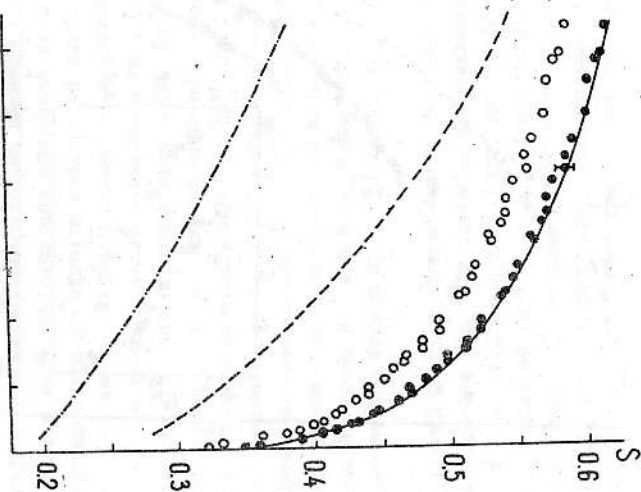
Значения S для ТСВ, полученные в изотропном приближении из дипольной анизотропии [26], соглашаются с найденными в том же приближении из рефрактометрических данных в работе [247], но значительно ниже из-за учета анизотропии локального поля в рамках модели сферической поглощения. Учет анизотропии локального поля в рамках модели сферической поглощения по формулам (67) приводит к еще более низким значениям S [26], что согласуется с (239). К. д. для оптической области значениям S [26], что согласуется с (239), "к. д. для оптической облас-ти частот формулы (54), (67) приводят к модели (27) с большой анизотропией $\Delta f > 0$ и отрицательными добавками к \hat{S}_{km} ".

Соглашение спектральных данных по S_0 с независимыми измерениями во всей области мезофазы свидетельствует о независимой величине корреляционных поправок к среднеполосовому поведению \hat{S} , даваемому формулам. (48), (69).

Рис. II. Температурные зависимости параметра порядка S в немагнитической фазе ТСВ, полученные различными методами: из ИК диахромизма N_2 [108] с учетом (●) и без учета (○) анизотропии локального поля. Сплошная линия – интерполяция данных [19] по измерению диполемагнитной анизотропии. Штриховая и штрих-пунктирная линии – интерполяция данных [26] по диэлектрической анизотропии обработанных соответственно в изотропном приближении и с учетом анизотропии локального поля в рамках модели сферической поглощения Онзагера [67].

ориентации молекул в ячейке. Для сбуждаемых ИК используемая модель расчета параметров $\Delta \gamma, \Delta$ удовлетворяет требованиям 2 (п. I.II) и системе уравнений (240).

Для смектической А фазы ИК приведенные на рис. 10 значения S_0 при $T=15^{\circ}$ соответствуют реигтеноиским данным $S \approx 0,7$ [114]. В немагнитической фазе ИК вблизи перехода $N - S_A$ наблюдается сильное предпереходное возрастание параметра S_0 . Скакок $\Delta S_0 \approx 0,01$ в точке перехода T_{NS} указывает на слабый "зародыш" переход первого рода. Этот переход исследовался в работах [95, 27] по изменению двухлучепреломления Δn . Посколь-



С О Д Е Р Ж А Н И Е

2. ЭФФЕКТЫ ЛОКАЛЬНОГО ПОЛЯ В МОЛЕКУЛЯРНОЙ ОПТИКЕ ЖИДКОК

ПРИСТАНОВ	5
2.1. Молекулярно-оптическая и структурная анизодипика нематических и одноосных смесистических жидких кристаллов	3
2.1.1. Аналог формулы Лоренци-Лоренца и модели тензора локального поля	4
2.1.2. Анизотропия локального поля и поляризуемость молекул	6
2.1.3. Связь дисперсии тензоров локального поля и молекулярной поляризуемости	14
2.1.4. Поправки на анизотропию локального поля к параметру порядка	16
2.1.5. Взаимосогласованное определение молекулярных и структурных параметров из рефрактометрических данных	19
2.1.5.1. Экстраполационная процедура Халлера	19
2.1.5.2. Модель Нойтебауэра	24
2.1.5.3. Ноаксы практического применения моделей Букса и Нойтебауэра	26
2.2. Молекулярно-оптическая и структурная анизотропия холестерических жидких кристаллов	27
2.3. Изменение поляризуемости в гомологических рядах	32
2.4. Структурная и оптическая анизотропия жидких кристаллов с гибкими молекулами	35
2.5. Эффекты локального поля в абсорбционной спектроскопии жидких кристаллов	40
2.5.1. Поправки на локальное поле к спектральному положению и интенсивности полос поглощения	40
2.5.2. Примесное поглощение	45
2.5.3. Поправки на локальное поле к диэлектрику полос поглощения и параметру порядка	47
2.5.4. Спектральные аспекты модели де ла Брдевинка	50
2.5.5. Спектральные аспекты молекулярно-статистической теории диэлектрической проницаемости жидких кристаллов	52
2.5.6. Сравнение с экспериментом	54

Ответственный за выпуск Даерьянов Е.М.

Подписано в печать 6.01 .1965 г. №102018
Уч.-изд.л. 3,2 Тираж 250 экз. Заказ № 47

Отпечатано на ротапринте ИФ СО АН СССР
660036, Красноярск-36, Академгородок